

JAERI-M

5 9 3 6

JMTR炉心構造材のサーベランステスト

(照射後試験結果)

1974年12月

材料試験炉部 原子炉第1課

日本原子力研究所  
Japan Atomic Energy Research Institute

この報告書は、日本原子力研究所が JAERI-M レポートとして、不定期に刊行している研究報告書です。入手、複製などのお問合せは、日本原子力研究所技術情報部（茨城県那珂郡東海村）あて、お申しこしください。

JAERI-M reports, issued irregularly, describe the results of research works carried out in JAERI. Inquiries about the availability of reports and their reproduction should be addressed to Division of Technical Information, Japan Atomic Energy Research Institute, Tokai-mura, Naka-gun, Ibaraki-ken, Japan.

J A E R I - M 5 9 3 6

J M T R炉心構造材のサーベランステスト  
( 照射後試験結果 )

日本原子力研究所大洗研究所材料試験炉部  
原 子 炉 第 1 課

( 1 9 7 4 年 1 2 月 3 日受理 )

高中性子束密度の原子炉における原子炉構造材照射損傷が原子炉の運転管理上問題となる。J M T Rの炉心構造材の照射損傷程度を検査する方法としては、構造材の変形測定と表面観察を定期的に実施するほか、各構造材のテストピースをJ M T R炉心で加速照射を行ない、機械的性質の変化を追求することを中心に照射後試験を実施して来た。本報告書においては、J M T R炉心構造材のうち特に高速中性子の照射を受けやすい部位に使用されている材料4種について、加速照射を行なった後の試験結果を報告する。

JAERI - M 5936

Surveillance Test of the JMTR Core Components

--- The results of post-irradiation examination ---

Division of JMTR Project

Oarai, JAERI

(Received December 3, 1974)

Surveillance tests for the core components of Japan Material Testing Reactor (JMTR) have been carried out since 1966. Four of the several capsules in the program were removed from the core, and subjected to post-irradiation tests in the JMTR Hot Laboratory. The results are described in this report.

JMTR surveillance tests are made to examine the irradiation effects of JMTR core components for fast neutrons, covering the several kinds of materials placed in high fast-neutron field: beryllium as the reflector, hafnium as the neutron absorber of control rod, 17-4PH stainless steel for a roller spring of the control rod, and 304 stainless steel as the grid plates.

## 目 次

1.はじめに	1
2.サーベランス計画	1
2.1 炉心構造材のサーベランステスト	1
2.2 テストピースの採取	2
2.3 テストピースの形状	2
2.4 テストピースの数量	2
2.5 照射キャップセル(燃料領域用)	2
3.照射条件	3
3.1 照射位置	3
3.2 中性子照射量	3
4.試験条件	4
4.1 照射前試験	4
4.2 照射後試験	4
5.試験結果	5
5.1 照射前引張試験結果	26
5.2 照射後引張試験結果	27
5.3 照射前衝撃試験結果	29
5.4 照射後衝撃試験結果	32
6.検討	37
7.まとめ	37

## 図 目 次

図-1	テストピースの形状(1)	7
図-2	テストピースの形状(2)	8
図-3~11	サーベランス用小キャップセル構造図	9
図-12~16	サーベランス用小キャップセル内のテストピース配置	14
図-17	Be, Hf, 17-4 PH 及び 304 ステンレステストピース挿入位置	19
図-18	304 L ステンレス(圧力容器材)テストピース挿入位置	20
図-19~22	小キャップセル位置及び高速中性子照射量	21
図-23	Be の照射効果(引張試験)	30
図-24	17-4 PH の照射効果(引張試験)	30
図-25	Hf の照射効果(引張試験)	31
図-26	SUS 304 の照射効果(引張試験)	31
図-27	Be の照射効果(衝撃試験)	35

図-28	17-4 PHの照射効果(衝撃試験)	36
図-29	Hfの照射効果(衝撃試験)	35

## 表 目 次

表-1	テストピース詳細	6
表-2	サーベランステストピースの予定照射期間と予定照射量一覧	23
表-3	小キャップセル毎の高速中性子照射量及び試験種別	25
表-4	照射前引張試験データ	26
表-5	Be 照射後引張試験データ	27
表-6	17-4 PH 照射後引張試験データ	28
表-7	Hf 照射後引張試験データ	28
表-8	SUS304 照射後引張試験データ	29
表-9	照射前衝撃試験データ	29
表-10	Be 照射後衝撲試験データ	32
表-11	17-4 PH 照射後衝撲試験データ	33
表-12	Hf 照射後衝撲試験データ	34

## 1. はじめに

J M T Rの炉心は、反動体としてベリリウム材とアルミニウム材、格子板として304ステンレス材、制御棒吸収体にハフニウム、吸収体バネ材に17-4 PHステンレス等を用いて構成されている。これらの構造材が、中性子照射による物性的変化を起すことが知られており、適正な管理のもとに、大きな損傷に至る前に交換をしたり、損傷緩和の対策を講ずる目的で、その損傷の進行状況を把握する必要がある。

この目的のために、テストピースの加速照射による物性的変化の追跡を行なうサーベランストest計画が、J M T R運転開始前に企画された。この計画では、J M T Rの炉心構造材の限界高速中性子照射量を $10^{22}$  nvt程度に置いて、各種構造材のテストピースの中性子照射量を数段階に区分し、各照射量毎に、照射キャビセルを設け、照射を実施した。

サーベランストestの照射後試験結果及び一部の構造材についてはその変形測定結果と表面観察の結果をもとに、炉心要素等の便宜上の交換計画を立てた。

本書においては、特に各種構造材のサーベランストest結果を中心に、照射効果について報告する。

## 2. サーベランストest計画

### 2.1 炉心構造材のサーベランストest

J M T Rでは、炉心構造材の限界高速中性子照射量を $10^{22}$  nvt程度と想定し交換計画を立てているが、その根拠になったデータも数少ない、そこで我々自身で確認するために、構造材のサンプルを炉心の最も高速中性子束の高い場所に挿入し、加速的に $10^{22}$ 程度の照射量を与える。炉心構造材が、この照射量に達する以前に損傷の程度をサーベランストestから予測し、炉心要素管理計画の一助とする目的で実施された。J M T R炉心の構造材とサーベランストestの対象となつたものは以下の通りである。

材 質	主 要 使 用 简 所	サ ベ ラ ン ス 対 象	高 中 性 子 束 の 領 域 で 使用 さ れ る 材 料
ベリリウム	反射体要素、棒	○	○
アルミニウム	反射体要素、制御棒案内管		○
ハフニウム	制御棒吸収体	○	○
17-4 PH	吸収体バネ材	○	○
SUS 304	吸収体ローラー、炉心格子板	○	○
SUS 304L	原子炉圧力容器	○	
ジルカロイ 2	ガンマ線しやへい板		

## 1. はじめに

J M T Rの炉心は、反動体としてベリリウム材とアルミニウム材、格子板として304ステンレス材、制御棒吸収体にハフニウム、吸収体バネ材に17-4 PHステンレス等を用いて構成されている。これらの構造材が、中性子照射による物性的変化を起すことが知られており、適正な管理のもとに、大きな損傷に至る前に交換をしたり、損傷緩和の対策を講ずる目的で、その損傷の進行状況を把握する必要がある。

この目的のために、テストピースの加速照射による物性的変化の追跡を行なうサーベランストest計画が、J M T R運転開始前に企画された。この計画では、J M T Rの炉心構造材の限界高速中性子照射量を $10^{22}$  nvt程度に置いて、各種構造材のテストピースの中性子照射量を数段階に区分し、各照射量毎に、照射キャップセルを設け、照射を実施した。

サーベランストestの照射後試験結果及び一部の構造材についてはその変形測定結果と表面観察の結果をもとに、炉心要素等の便宜上の交換計画を立てた。

本書においては、特に各種構造材のサーベランストest結果を中心に、照射効果について報告する。

## 2. サーベランストest計画

### 2.1 炉心構造材のサーベランストest

J M T Rでは、炉心構造材の限界高速中性子照射量を $10^{22}$  nvt程度と想定し交換計画を立てているが、その根拠になったデータも数少ない、そこで我々自身で確認するために、構造材のサンプルを炉心の最も高速中性子束の高い場所に挿入し、加速的に $10^{22}$ 程度の照射量を与える。炉心構造材が、この照射量に達する以前に損傷の程度をサーベランストestから予測し、炉心要素管理計画の一助とする目的で実施された。J M T R炉心の構造材とサーベランストestの対象となつたものは以下の通りである。

材 質	主 要 使 用 管 所	サーベランスト 象	高 中 性 子 束 の 領 域 で 使用 さ れ る 材 料
ベリリウム	反射体要素、棒	○	○
アルミニウム	反射体要素、制御棒案内管		○
ハフニウム	制御棒吸収体	○	○
17-4 PH	吸収体バネ材	○	○
SUS 304	吸収体ローラー、炉心格子板	○	○
SUS 304L	原子炉圧力容器	○	
ジルカロイ 2	ガンマ線しゃへい板		

材質選定に当っては、種類を増すことによって照射キャップセルの数が増えることになり、照射計画全体に影きようを及ぼすため、他の炉における使用実績の多い材料等は除外し、比較的照射実験データの少ないもの及び使用条件のきびしいものから選定した。

## 2.2 テストピースの採取

テストピースのうち Hf, 17-4 PH, SUS 304 は、構造材の原材料と同一のものを同様の熱処理等を施し單一種類のテストピースとした。

SUS 304 Lについては、母材部、溶接部及び熱影響部からテストピースを採取し、計3種類とした。

ベリリウム構造材の原材料は国産品であり、照射データの比較のために米国 Brush 社の材料からもテストピースを採取した。国産のベリリウム材は製造方法の点からプラグ材、反射体材、枠材について、押出方向および押出直角方向の区分をしてテストピースを採取した。テストピース採取位置および数量等を表-1に示す。

## 2.3 テストピースの形状

各材料の引張試験用テストピース及び衝撃試験用テストピースは、原則として J I S 規格に準じて製作されたが、照射キャップセル内の固定方法などから一部形状を変更したものもある。詳細形状及び寸法を図-1, 2に示す。各試験片別の準拠規格は次の通りである。

材 質	準拠した J I S 規格		備 考
	引張試験片	衝撃試験片	
ベリリウム	J I S 特3号		衝撃試験片はノッチのないものとした。
ハフニウム	J I S 7号	J I S 4号	
17-4 PH	J I S 特3号	J I S 4号	
SUS 304	J I S 7号		
SUS 304 L	J I S 10号	J I S 4号	

## 2.4 テストピースの数量

材料の特性として、試験データのばらつきやすいものなどは、テストピースの数を計画的に増やしたが、照射キャップセルへの挿入制限から全数がおさえられ、引張試験片等は1データにつき2~3個のテストピースを作成した。詳細本数については表-1の通りである。

## 2.5 照射キャップセル(燃料領域用)

核的に影響の大きい材料は、2~3個のテストピースを、影響の小さいものは、5~6個をアルミニウム若しくは、ステンレスのホルダーに固定して小キャップセルを作り、この小キャップセルをステンレス製のバスケット内に最高10個まで挿入して1本の照射キャップセルとした。

サーベランステストのために計画した照射キャップセルは全部で5本である。照射計画上は、目標照射量別にキャップセルを作成して、照射期間の途中において1部の小キャップセルを取り出すことは避けた。

中性子照射量を評価するために $\text{Fe}$ ,  $\text{Ni}$ および $\text{Co}-\text{Al}$ 線から成るフラックスモニタワイヤ1~2本を小キャップセル全部に挿入した。

テストピース中性子照射量を明確にする目的と、小キャップセル中に異種材料のテストピースが混在することによる区分を明確にする目的で、小キャップセルのテストピース固定位置別に番地を設け、キャップセル軸方向に対する小キャップセルの配列と合わせて管理された。

小キャップセルの構造を図-3~11に、小キャップセル内のテストピース及びフラックスモニタ固定位置別番地を図-12~16に示す。キャップセル内の小キャップセルの配列と中性子照射量については、図-19~22の通りである。

### 3 照射条件

#### 3.1 照射位置

サーベランステスト計画に基づくキャップセルが挿入された位置は図-17, 18の通りである。各キャップセルの予定照射量と照射期間については表-2に示した。

#### 3.2 中性子照射量

サーベランス計画が作成された段階では、フラックスモニタワイヤーの照射後計測によって中性子照射量を評価することになっていたが、照射後試験は、炉心から取り出されて長期間放置された短時間照射のキャップセルと、取り出されたのち短期間放置された長期間照射のキャップセルを同時期に解体し実施することになったため、前者のモニタワイヤーは、長期間冷却されていて精度良い測定が期待できなく、更に後者のモニタワイヤーは、放射能が強く測定不可能となつた。そのために、JMT-Rで現在までに照射された多数のキャップセルから得られたモニタワイヤーによる中性子照射量のデータと核計算によって得た照射量の経験的補正を用いて、各サーベランスキャップセルの核計算による照射量をフラックスモニタで期待される中性子照射量に換算した。この方法で評価した中性子のエネルギーは1.05 MeV以上のものであって各種構造材の照射損傷を評価する上では妥当なものと考える。核計算値を補正して得られた中性子照射量の精度は、±15%程度と考えられる。核計算は、JMT-R第2サイクルから第18サイクルについてPDQを、第19サイクルから第22サイクルについて、EXTERR-MINATOR-2を用いた。照射キャップセル毎の高速中性子照射量は図-19~22に、小キャップセル毎の照射量は表-3に示す通りである。

サーベランステストのために計画した照射キャップセルは全部で5本である。照射計画上は、目標照射量別にキャップセルを作成して、照射期間の途中において1部の小キャップセルを取り出すことは避けた。

中性子照射量を評価するために $\text{D}_e$ ,  $\text{Ni}$ および $\text{Co}-\text{Al}$ 線から成るフラックスモニタワイヤ1～2本を小キャップセル全部に挿入した。

テストピース中性子照射量を明確にする目的と、小キャップセル中に異種材料のテストピースが混在することによる区分を明確にする目的で、小キャップセルのテストピース固定位置別に番地を設け、キャップセル軸方向に対する小キャップセルの配列と合わせて管理された。

小キャップセルの構造を図-3～11に、小キャップセル内のテストピース及びフラックスモニタ固定位置別番地を図-12～16に示す。キャップセル内の小キャップセルの配列と中性子照射量については、図-19～22の通りである。

### 3 照射条件

#### 3.1 照射位置

サーベランステスト計画に基づくキャップセルが挿入された位置は図-17, 18の通りである。各キャップセルの予定照射量と照射期間については表-2に示した。

#### 3.2 中性子照射量

サーベランステスト計画が作成された段階では、フラックスモニタワイヤーの照射後計測によって中性子照射量を評価することになっていたが、照射後試験は、炉心から取り出されて長期間放置された短期間照射のキャップセルと、取り出されたのち短期間放置された長期間照射のキャップセルを同時期に解体し実施することになったため、前者のモニタワイヤーは、長期間冷却されていて精度良い測定が期待できなく、更に後者のモニタワイヤーは、放射能が強く測定不可能となつた。そのために、JMT-Rで現在までに照射された多数のキャップセルから得られたモニタワイヤーによる中性子照射量のデータと核計算によって得た照射量の経験的補正を用いて、各サーベランステストキャップセルの核計算による照射量をフラックスモニタで期待される中性子照射量に換算した。この方法で評価した中性子のエネルギーは1.05 MeV以上のものであって各種構造材の照射損傷を評価する上では妥当なものと考える。核計算値を補正して得られた中性子照射量の精度は、±15%程度と考えられる。核計算は、JMT-R第2サイクルから第18サイクルについてPDQを、第19サイクルから第22サイクルについて、EXTERMINATOR-2を用いた。照射キャップセル毎の高速中性子照射量は図-19～22に、小キャップセル毎の照射量は表-3に示す通りである。

## 4 試験条件

## 4.1 照射前試験

照射前テストピースと照射後テストピースを可能な限り同一条件で試験することが必要であり、照射前試験用未照射テストピースを照射後試験時まで保管することになっていたが、手違いにより保管中にテストピースを紛失した。そのため本報告書に記載した照射前試験結果は、製作者側で各要素を製作した際に同時に試験したデータである。それぞれのデータの出典は以下のものである。

(1) ベリリウム	J M T Rベリリウム反射体	42年10月 3日
反射体要素	要素試験検査成績書	
およびプラグ		
(栓)	ベリリウム栓検査成績書	42年 9月 21日
(2) 304ステンレス	炉心部機器検査成績書	42年 9月 21日
(炉心格子板)		
(3) 304Lステンレス	原子炉圧力容器成績書	43年 5月 31日
(原子炉圧力容器)		
(4) ハフニウム	H <sub>f</sub> 吸収体検査成績書	43年 3月 14日
(制御棒吸収体)		
(5) 17-4 PHステンレス	H <sub>f</sub> 吸収体検査成績書	43年 3月 14日
(吸収体バネ材)		

ベリリウム材料の照射前試験に対する試験機及び試験条件を以下に記述する。ベリリウム以外の材料に対する試験機等が不明のためここでは省略した。

## ベリリウム材料の照射前試験

試験実施期日 昭和42年9月, 10月

試験者 日本機子株式会社

試験機 引張試験機

島津製社所製 IS-2000型

荷重容量 1.000 kg

全速度 0.5 mm/min-

## 衝撃試験機

上島製作所製シャルピー衝撃試験機

容量 30 kg-cm

試験条件 引張試験, 衝撃試験とも常温で実施

## 4.2 照射後試験

全てのテストピースの照射後試験は、J M T Rホットラボにおいて実施された。使用された試験機および試験条件は以下の通り。

試験実施期日 昭和48年10月、11月

試験者 材料試験炉部ホットラボ課

試験機 引張試験機  
新興通信製 TOM-10,000型  
荷重容量 800 kg  
全速度 0.5 mm/min-  
衝撃試験機  
東京試験機製シャルピー衝撃試験機  
容量 30 kg-m

試験条件 引張試験、衝撃試験とも常温で実施

## 5. 試験結果

サーベランステスト計画に基づく各種テストピースの引張試験及び衝撃試験の結果を照射前と照射後に区分し表-4～12、および図-23～29に示す。他の炉において同様な試験が行われたものについては、参考のために図中にそれを併記した。

J M T R サーベランステスト計画にもとづく5本の照射キャップセルのうち目標照射量  $5 \times 10^{21}$  n/cm<sup>2</sup>までの4本のキャップセルが照射後試験を終了して、本報告書にその結果を報告したが、最高目標照射量  $10^{22}$  n/cm<sup>2</sup>のキャップセルは現在J M T R 炉心で照射中である。

材料の照射結果は、今回の対象材料に限って見た場合、前述の照射量範囲で、何れも引張強さが約  $2 \sim 3 \times 10^{20}$  n/cm<sup>2</sup>程度までの間で急激に増加し、その後徐々に増大する傾向にあり、衝撃強さは引張強さと逆に減少する傾向にあることが定性的に評価される。材料工学的に内部に蓄積するガスの量および照射による組織の破壊などを定量的に評価することは行われなかつた。

試験実施期日 昭和48年10月、11月

試験者 材料試験炉部ホットラボ課

試験機 引張試験機  
新興通信製 TOM-10000型  
荷重容量 800 kg  
全速度 0.5 mm/min-  
衝撃試験機  
東京試験機製シャルピー衝撃試験機  
容量 30 kg-m

試験条件 引張試験、衝撃試験とも常温で実施

## 5. 試験結果

サーベランステスト計画に基づく各種テストピースの引張試験及び衝撃試験の結果を照射前と照射後に区分し表-4～12、および図-23～29に示す。他の炉において同様な試験が行われたものについては、参考のために図中にそれを併記した。

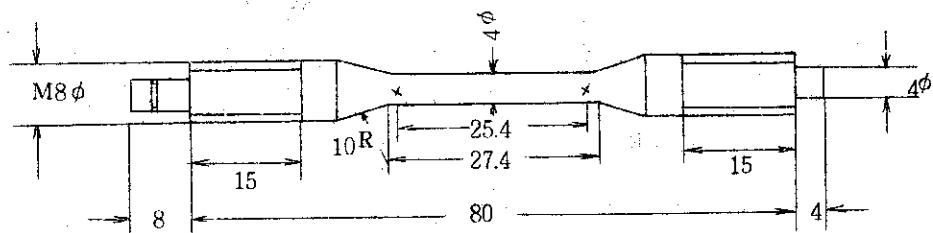
J M T R サーベランステスト計画にもとづく5本の照射キャップセルのうち目標照射量  $5 \times 10^{21}$  n/cm<sup>2</sup>までの4本のキャップセルが照射後試験を終了して、本報告書にその結果を報告したが、最高目標照射量  $10^{22}$  n/cm<sup>2</sup>のキャップセルは現在J M T R 炉心で照射中である。

材料の照射結果は、今回の対象材料に限って見た場合、前述の照射量範囲で、何れも引張強さが約  $2 \sim 3 \times 10^{20}$  n/cm<sup>2</sup>程度までの間で急激に増加し、その後徐々に増大する傾向にあり、衝撃強さは引張強さと逆に減少する傾向にあることが定性的に評価される。材料工学的に内部に蓄積するガスの量および照射による組織の破壊などを定量的に評価することは行われなかつた。

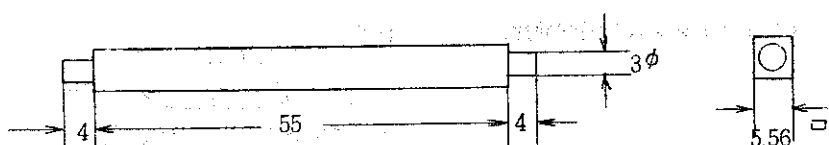
表-1 テストビース詳細

材 料	ビース名	数量	番 号	採 取 位 置
ベリリウム	引張試験片	4	A 1 ~ A 4	プラグ材押出方向
		12	B 1 ~ B 1 2	反射体材押出方向
		5	C 1 ~ C 5	" 押出直角方向
		12	D 1 ~ D 1 2	棒材押出方向
		5	E 1 ~ E 5	" 押出直角方向
		10	F 1 ~ F 1 0	Brush 材
	衝撃試験片	5	G 1 ~ G 5	プラグ材押出方向
		19	H 1 ~ H 1 9	反射体材押出方向
		3	I 1 ~ I 3	" 押出直角方向
		15	J 1 ~ J 1 5	棒材押出方向
		3	K 1 ~ K 3	" 押出直角方向
		15	L 1 ~ L 1 5	Brush 材
ハフニウム	引張試験片	12	H 1 ~ H 1 2	
	衝撃試験片	12	H 1 ~ H 1 2	
17-4 PH	引張試験片	8	P 1 ~ P 8	
	衝撲試験片	16	P 1 ~ P 1 6	
304ステンレス	引張試験片	12	G 1 ~ G 1 2	
304Lステンレス	引張試験片	12	B 1 ~ B 1 2	母材部
		12	W 1 ~ W 1 2	溶接部
	衝撲試験片	60	B 1 ~ B 6 0	母材部
		60	W 1 ~ W 6 0	溶接部
		60	H 1 ~ H 6 0	熱影響部
	水素分析試験片	12	B 1 ~ B 1 2	母材部
		12	W 1 ~ W 1 2	溶接部

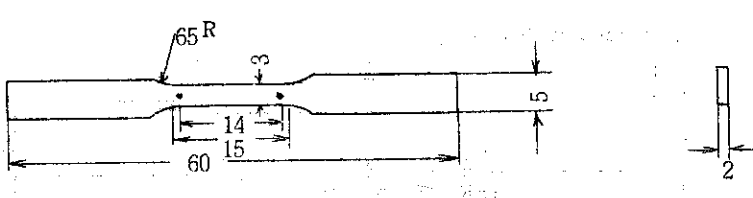
Be 引張試験片



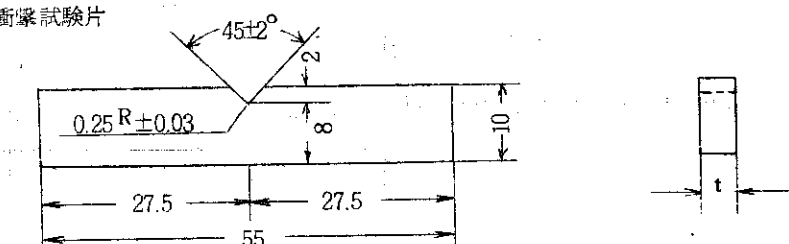
Be 衝撃試験片



Hf 引張試験片



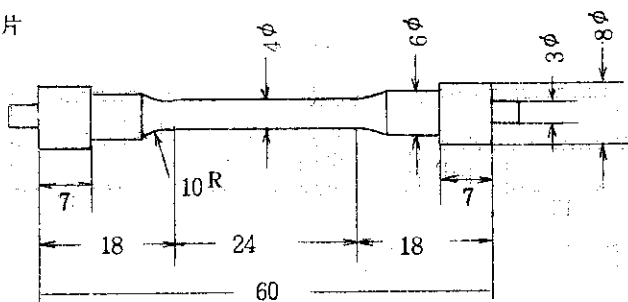
Hf, 17-4PH, 304Lステンレス衝撃試験片



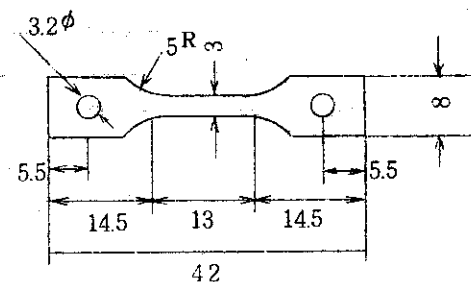
厚さ  $t = 5$  Hf, 17-4 PH  
 $t = 10$  304Lステンレス

図 - 1 テストピースの形状 (1)

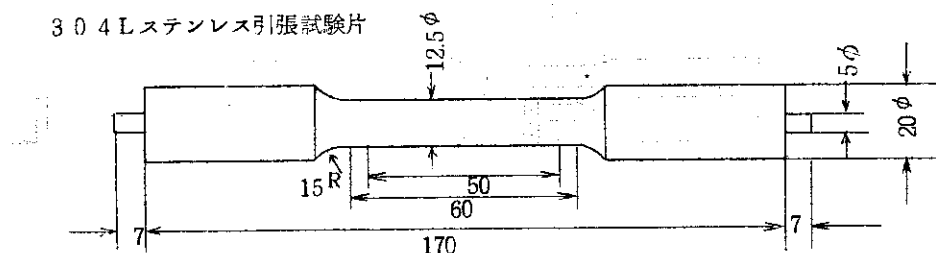
17-4 PH 引張試験片



304ステンレス引張試験片



304Lステンレス引張試験片



304Lステンレス水素分析試験片

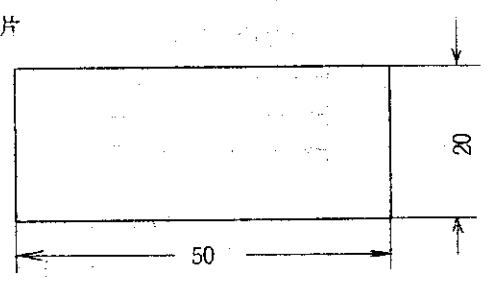


図-2 テストピースの形状 (2)

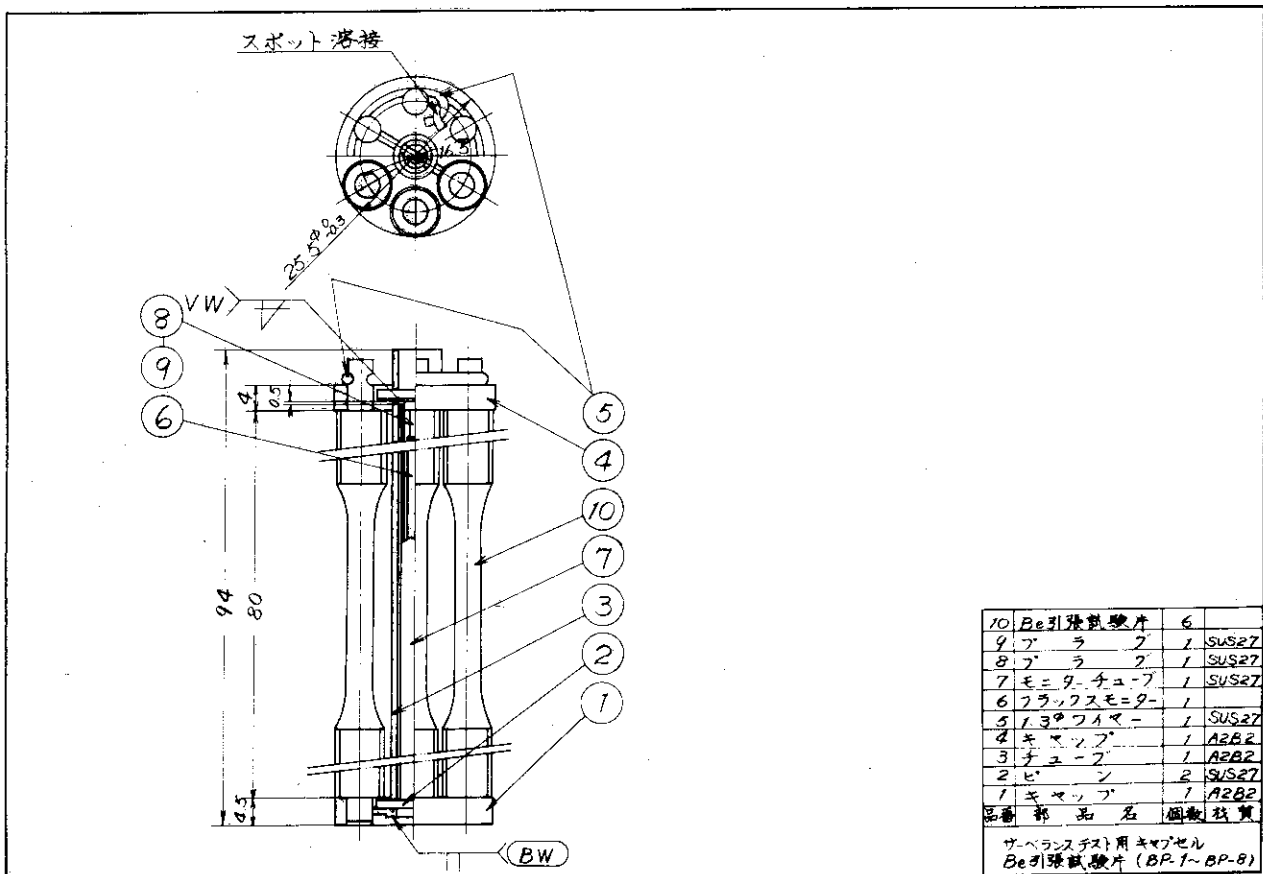


図-3

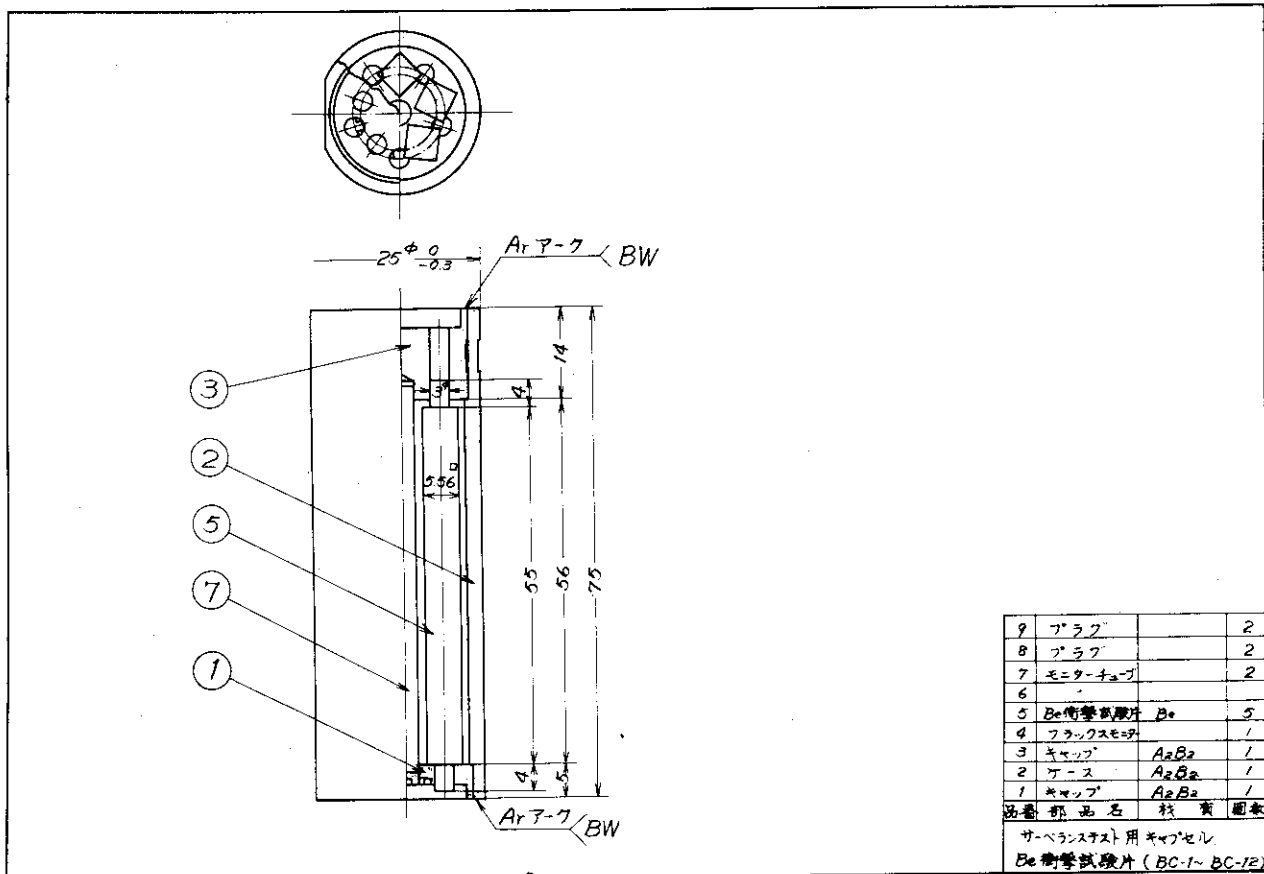


図-4

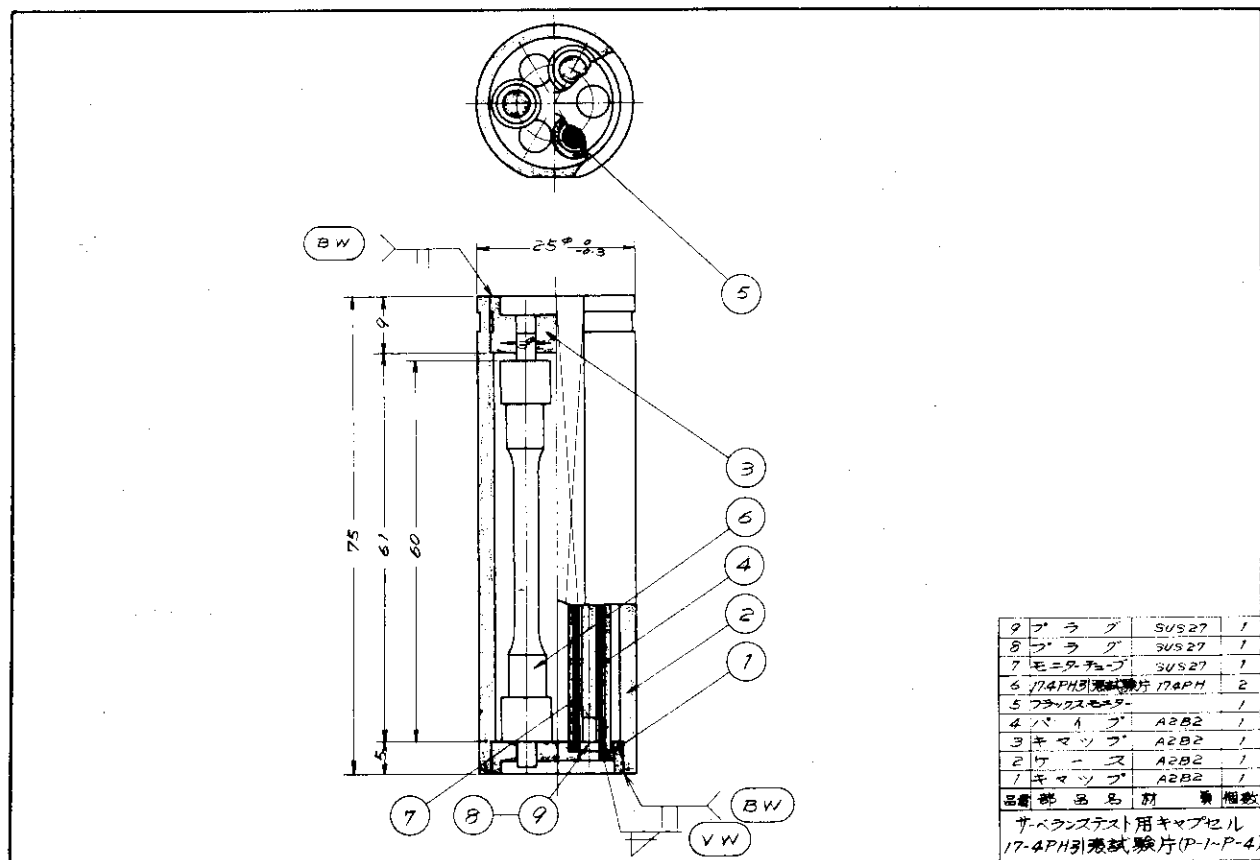


図 - 5

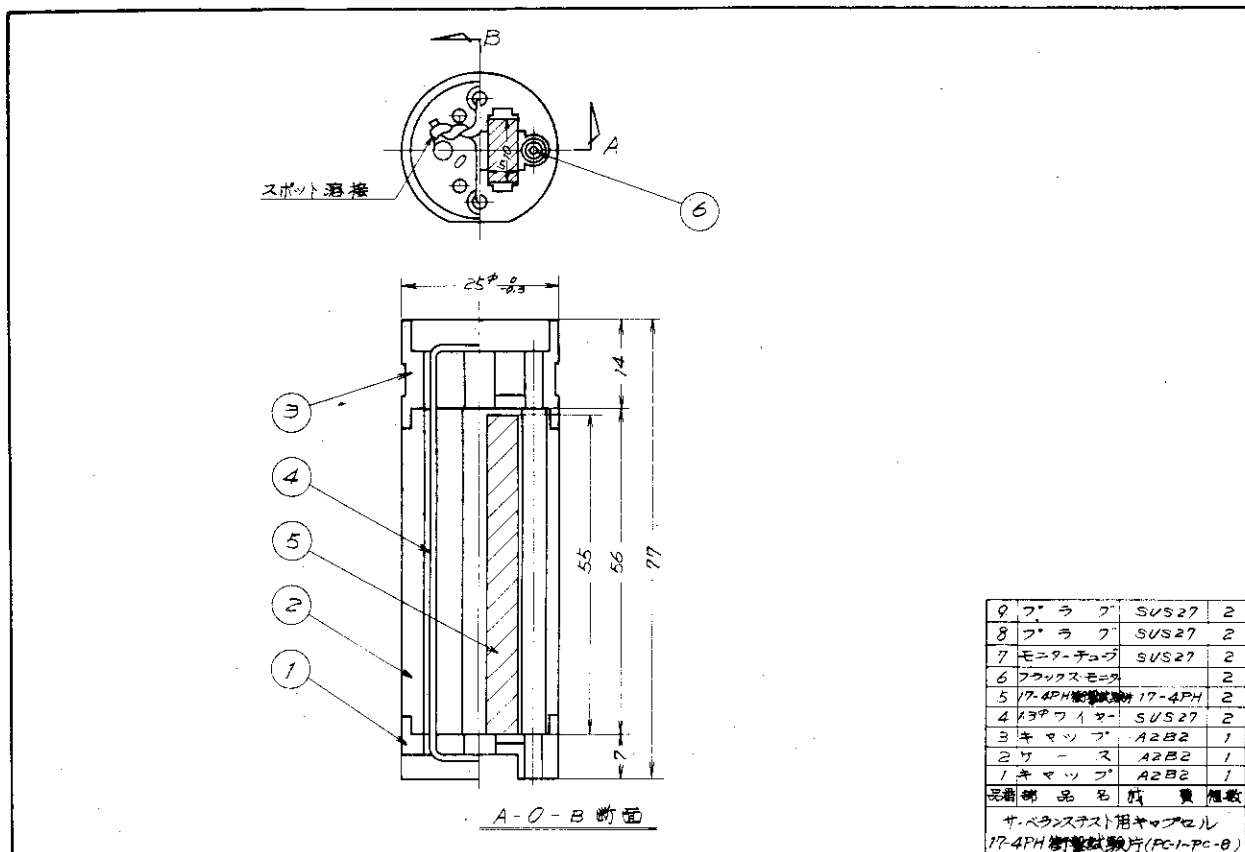
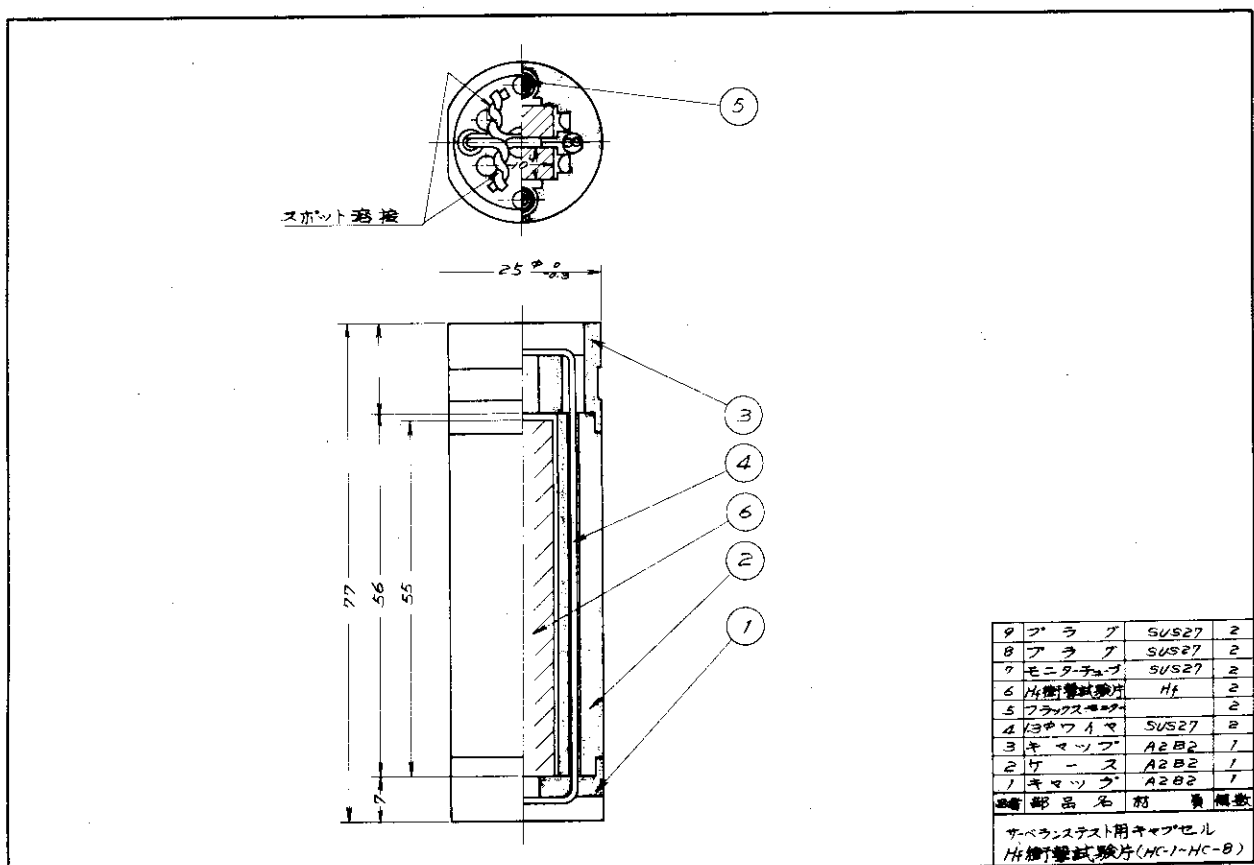
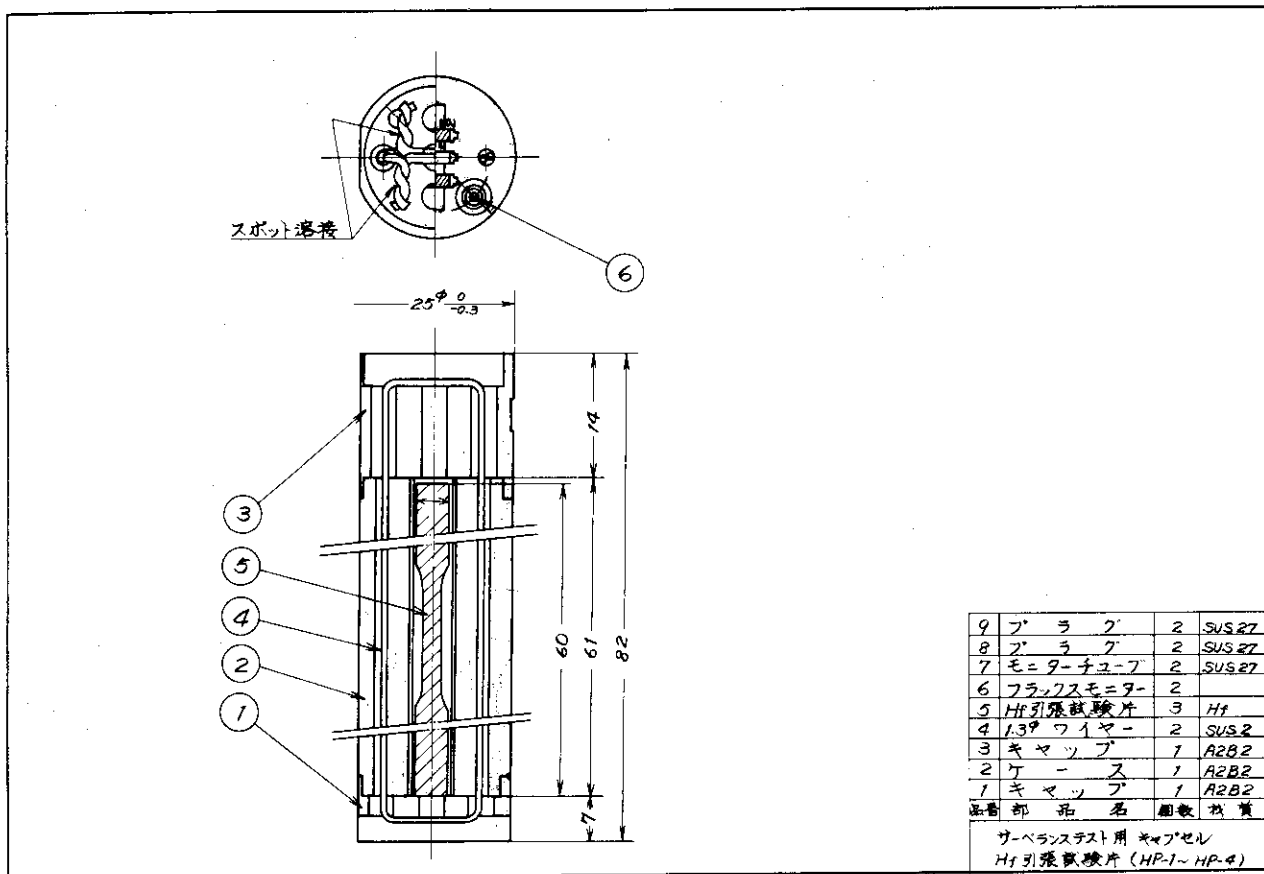


図 - 6



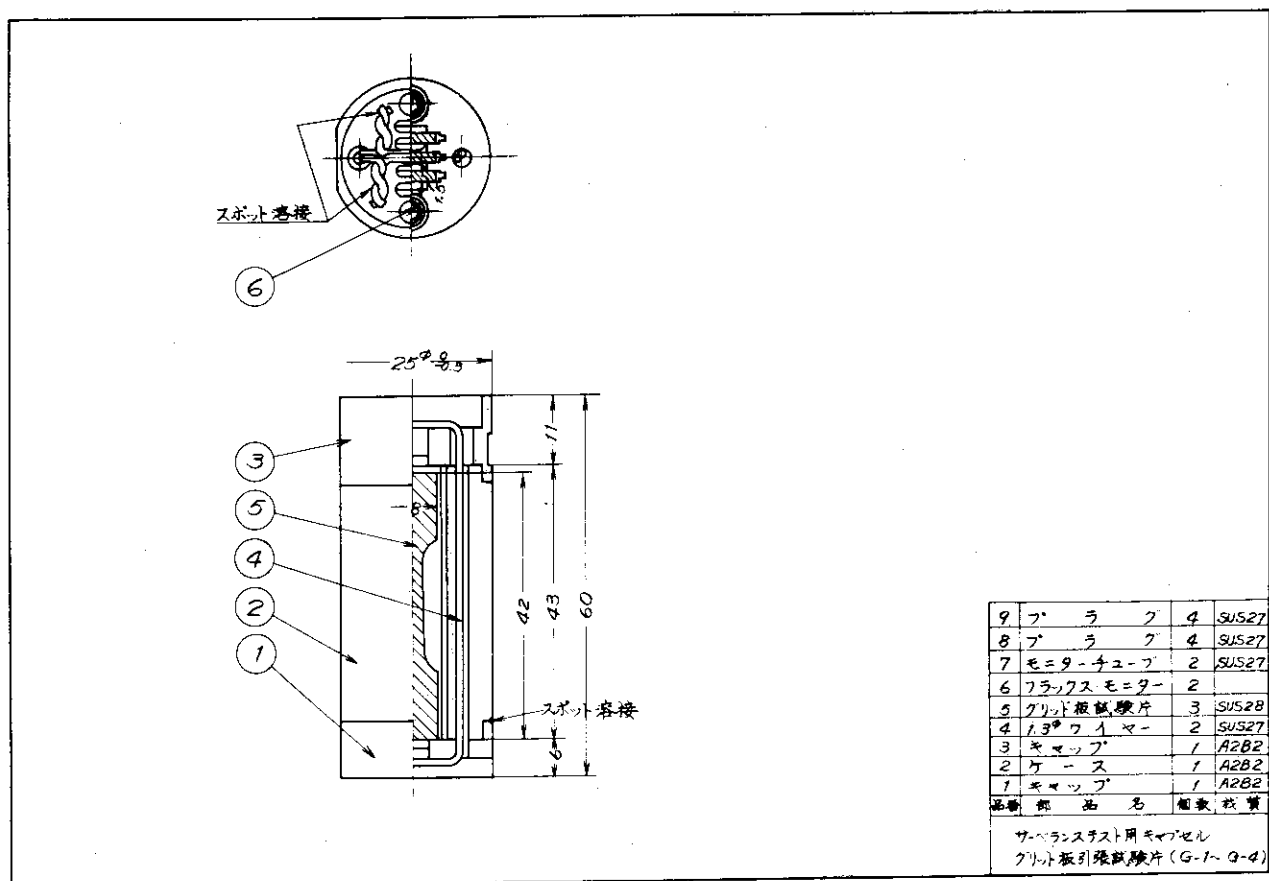


図 - 9

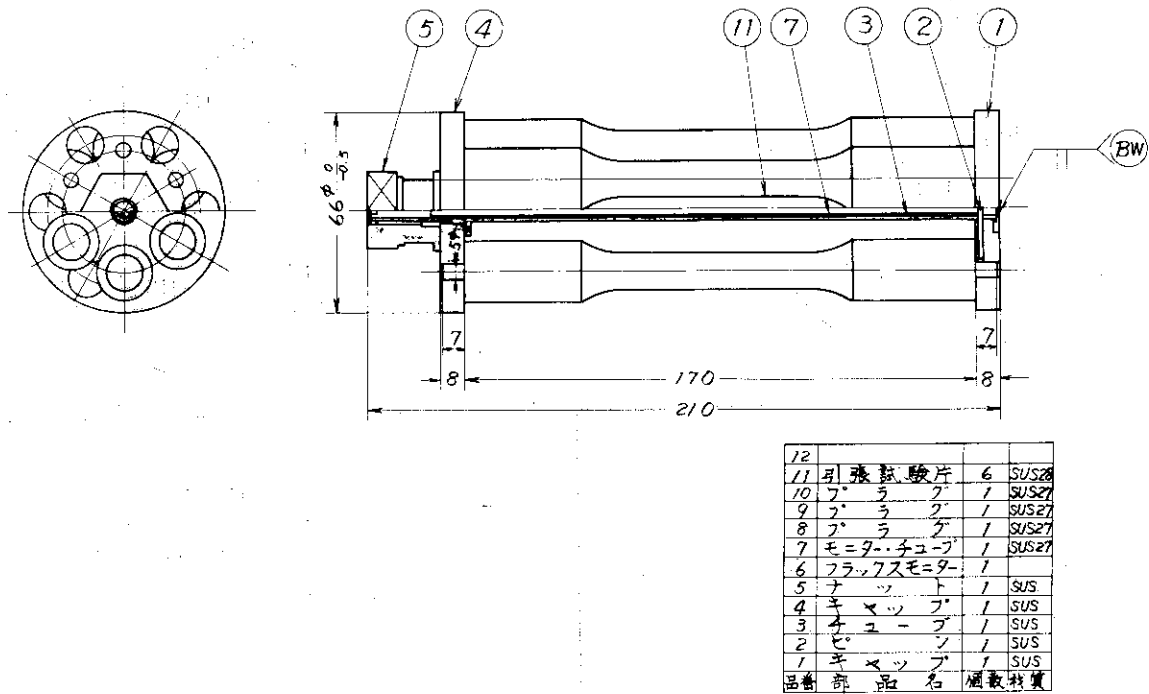


図-10 サーベランステスト用キャップセル引張試験片  
(R. P. V材)

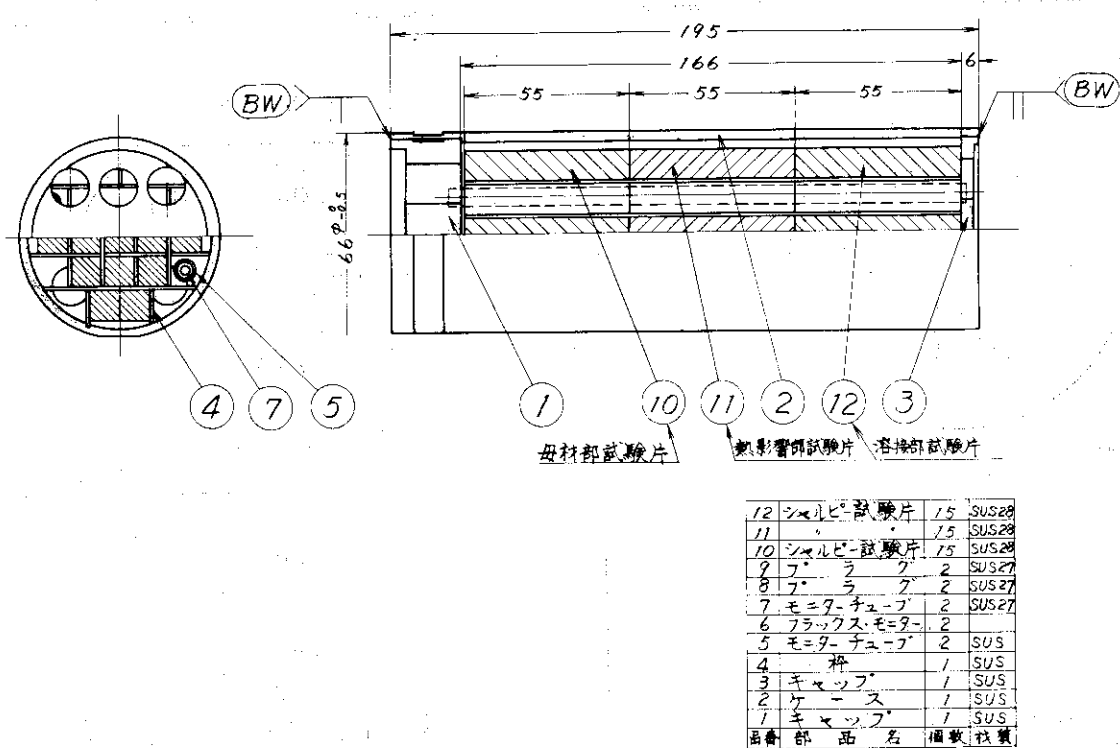


図-11 サーベランステスト用キャップセル衝撃試験片  
(R. P. V材)

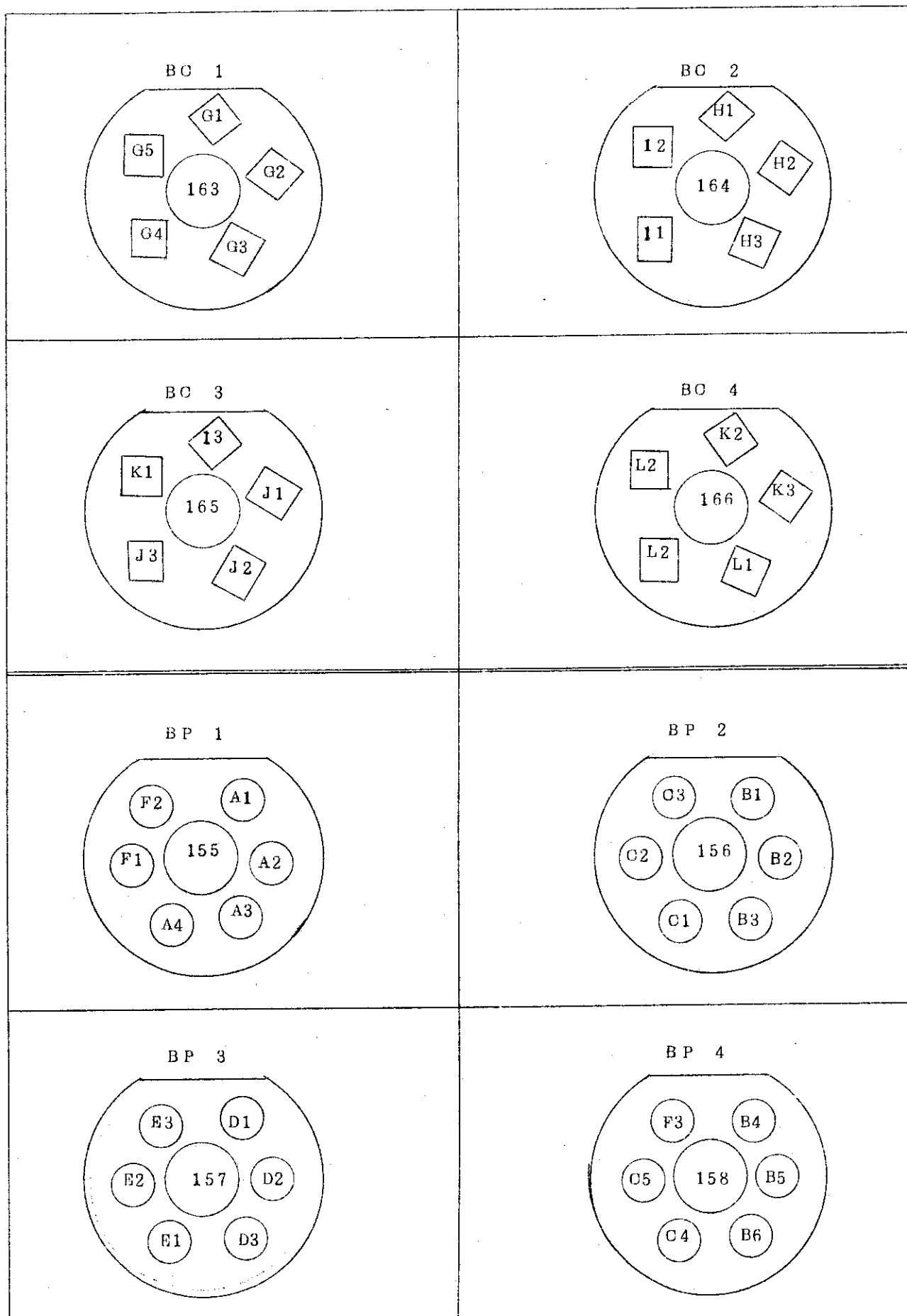


図-12 67M-43J内のテストピース配置

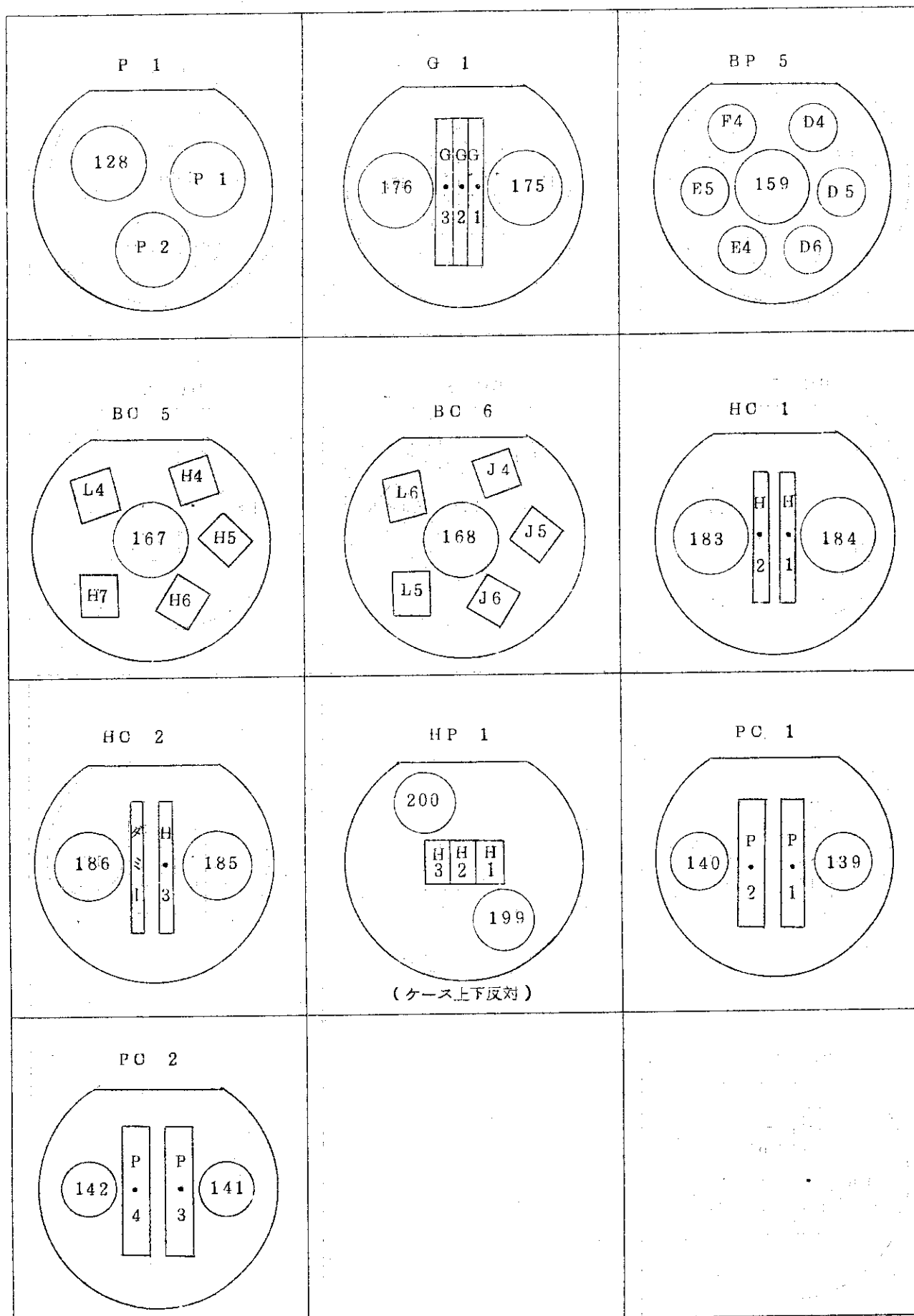


図-13 67M-44J-1内のテストピース配置

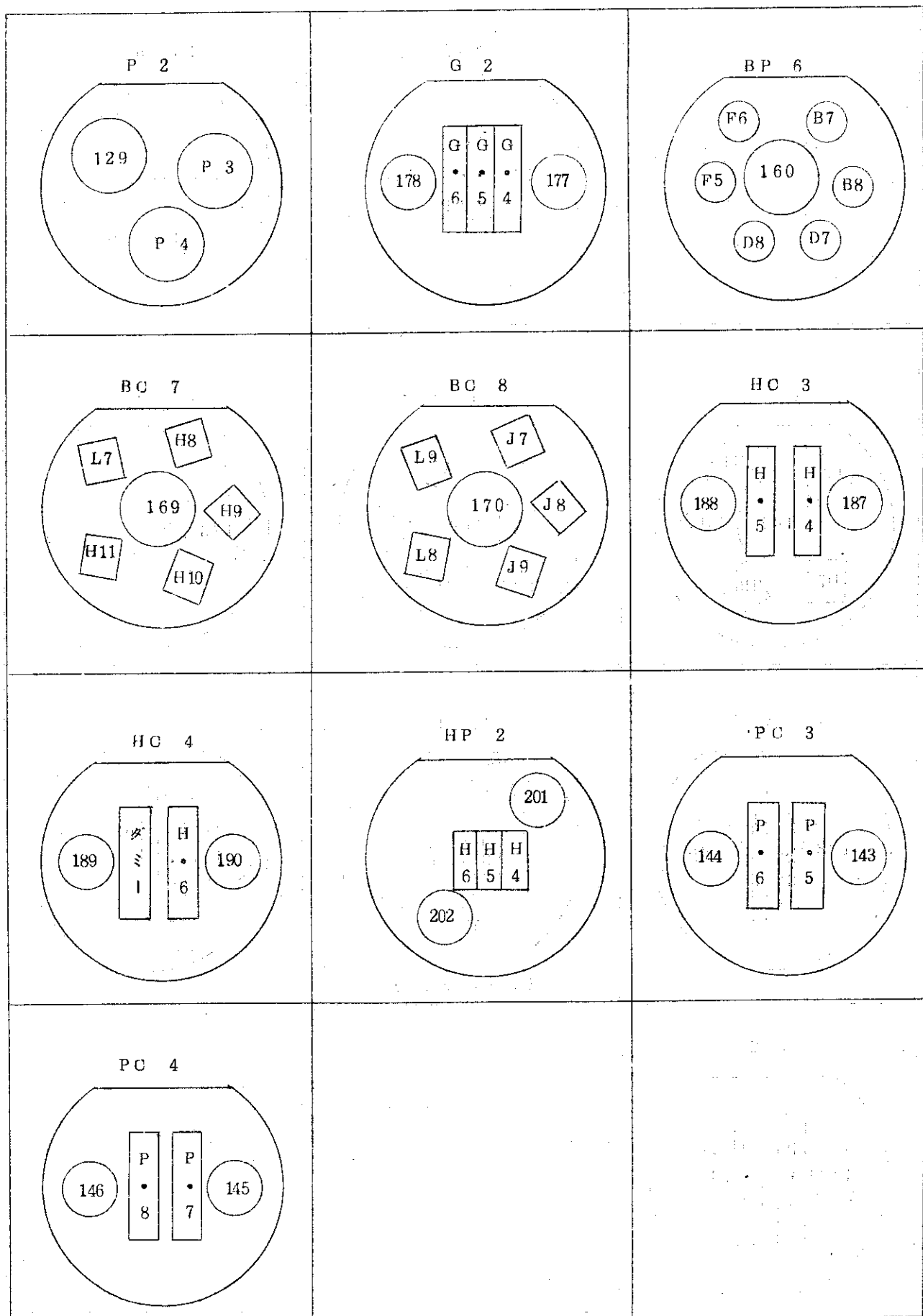


図-14 67M-44J-2内のテストピース配置

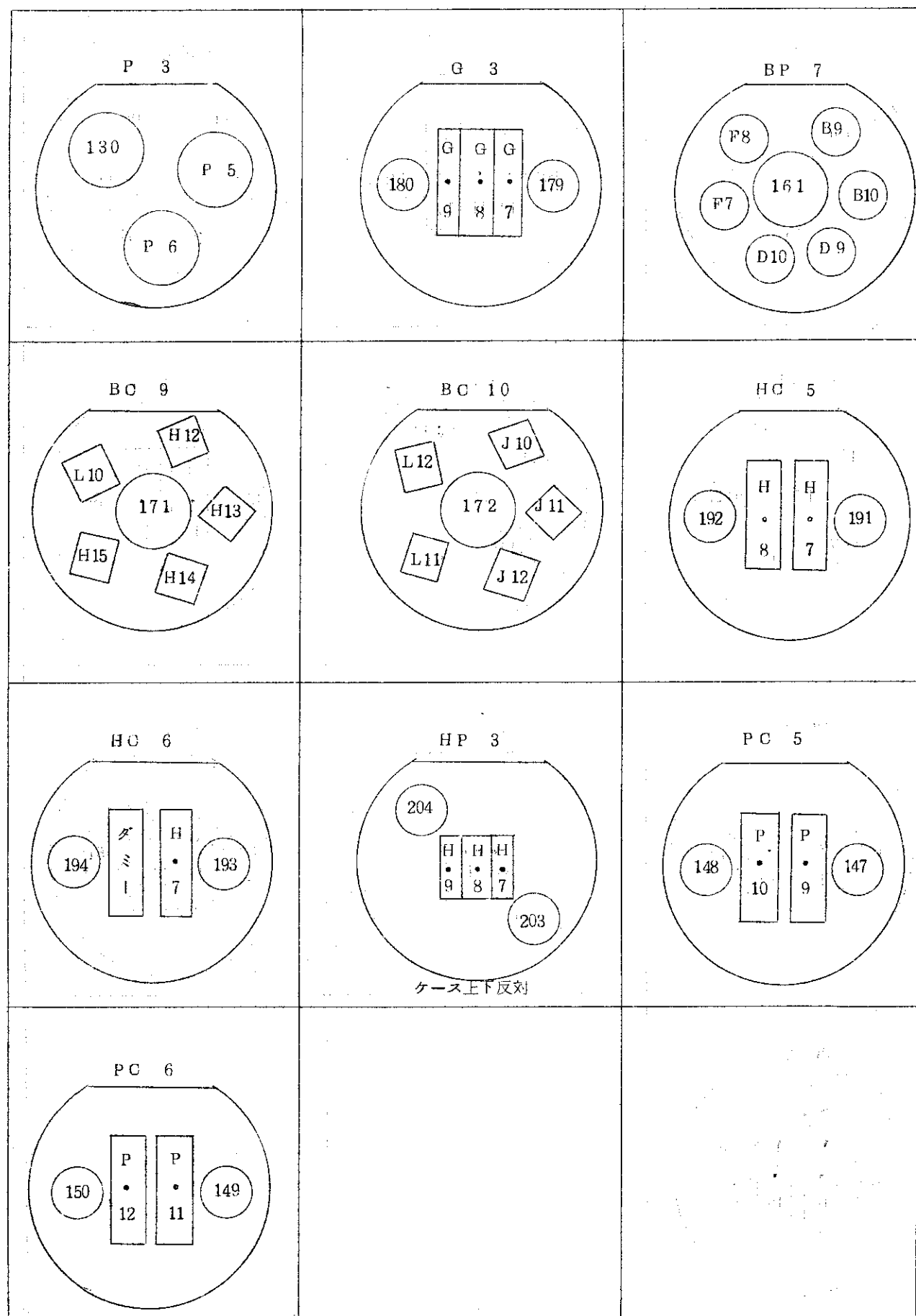


図-15 6.7M-4.4J-3内テストピース配置  
-1.7-

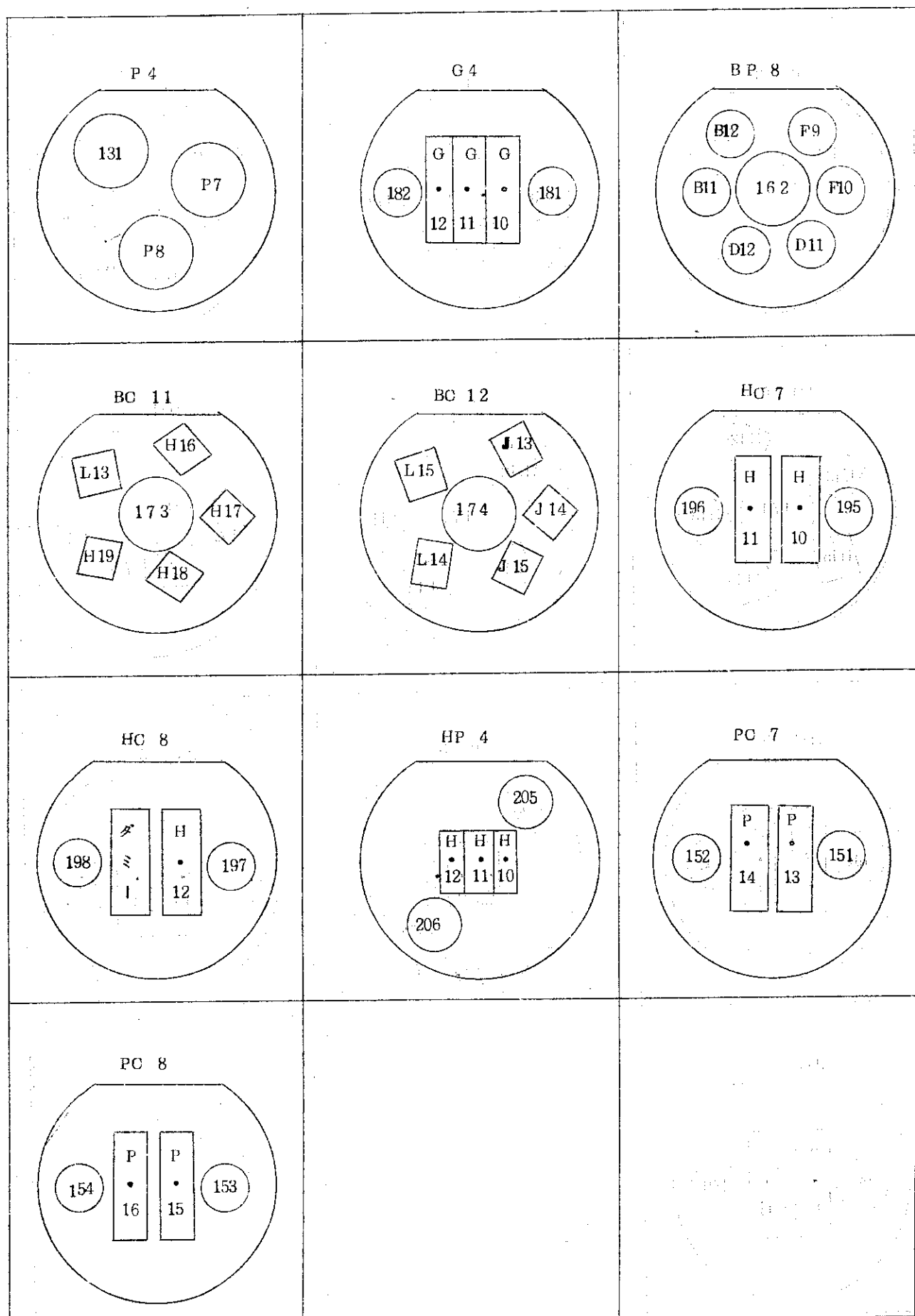
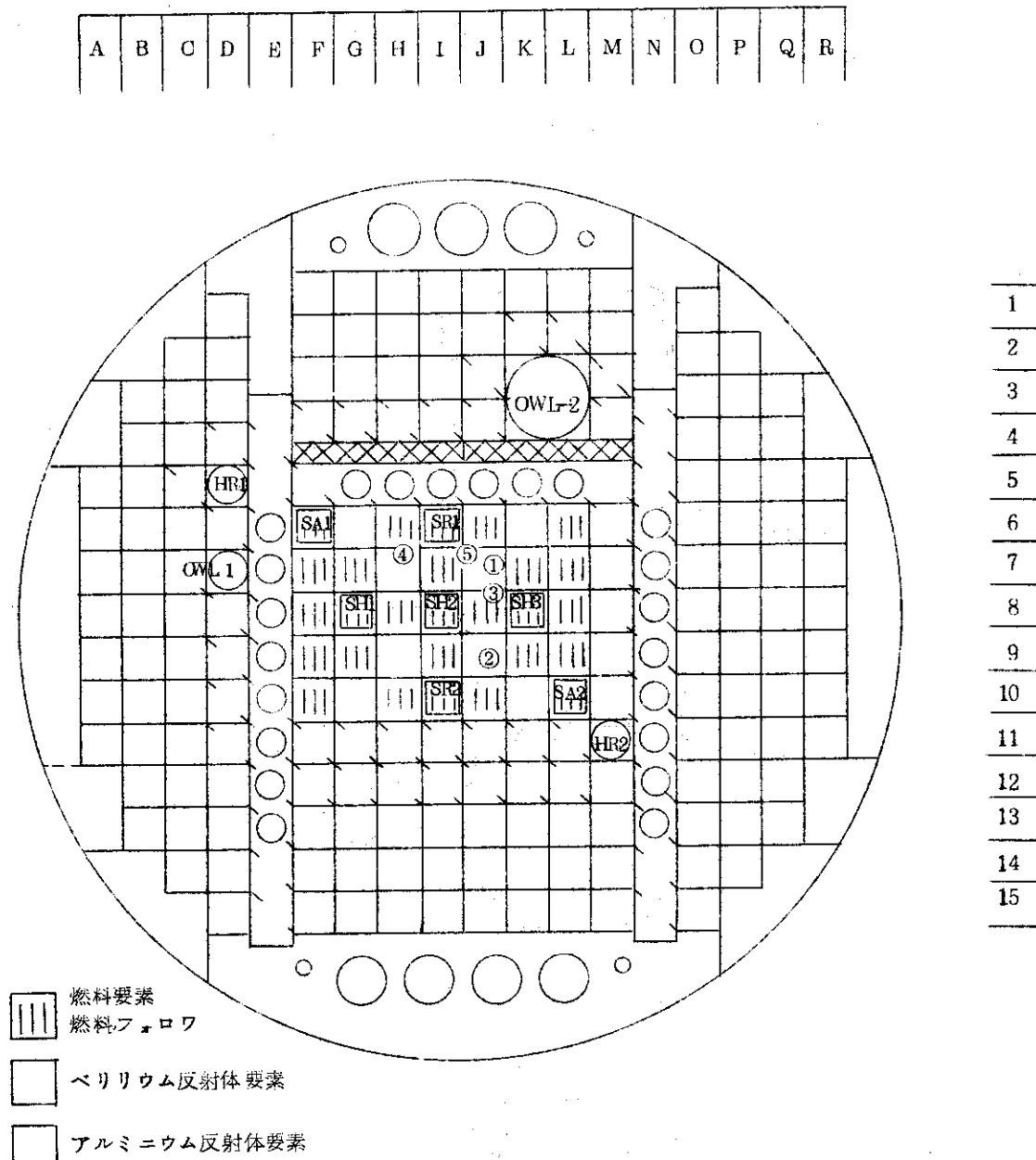
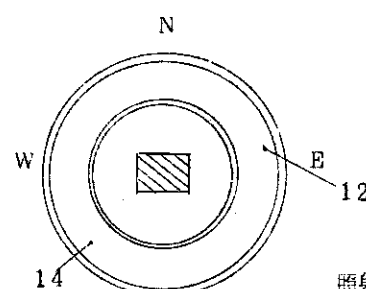
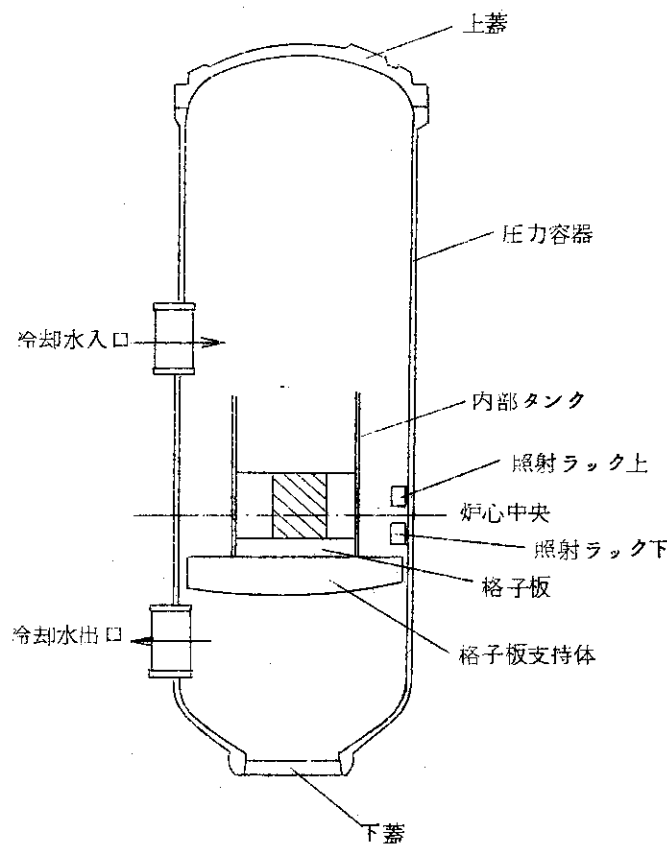


図-16 6.7M-44J-4内のテストピース配置



番号	炉心位置	照射予定量	キャプセル番号
①	J-7-1	$10^{20}$ nvt	67M-43J
②	J-9-2	$5 \times 10^{20}$	67M-44J-1
③	J-7-2	$10^{21}$	67M-44J-2
④	H-7-1	$5 \times 10^{21}$	67M-44J-3
⑤	J-7-4	$10^{22}$	67M-44J-4

図-17 Be, Hf, 17-4 PH 及び 304ステンレステストピース挿入位置



照射ラック#	照射予定期間	キャップセル番号
12上	5年	67M-RJ-1
12下	10	67M-RJ-2
14上	15	67M-RJ-3
14下	20	67M-RJ-4

図-18 304 Lステンレス(圧力容器材)テストピース插入位置

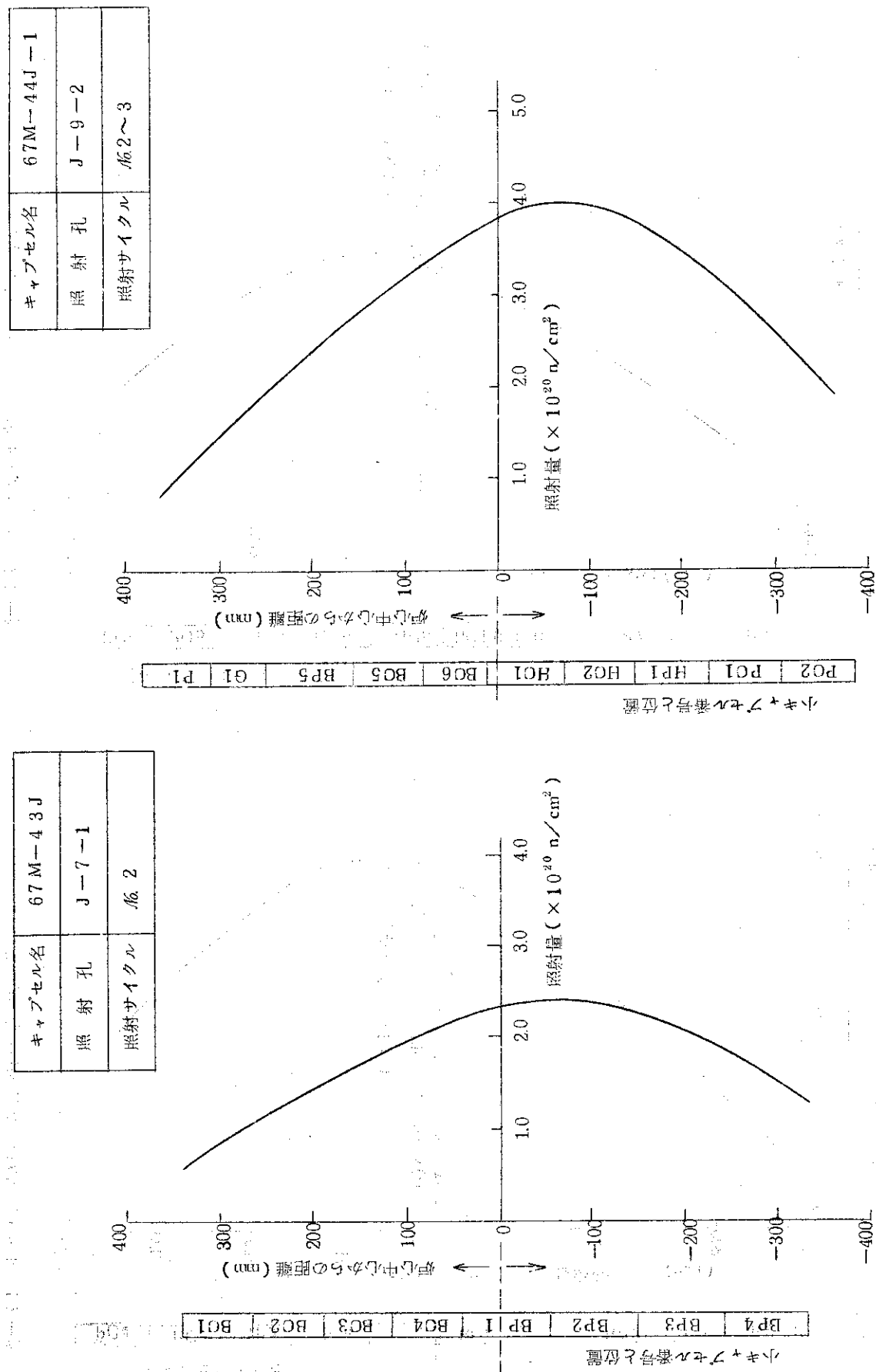


図-20 小キヤブセル位置及び高速中性子照射量

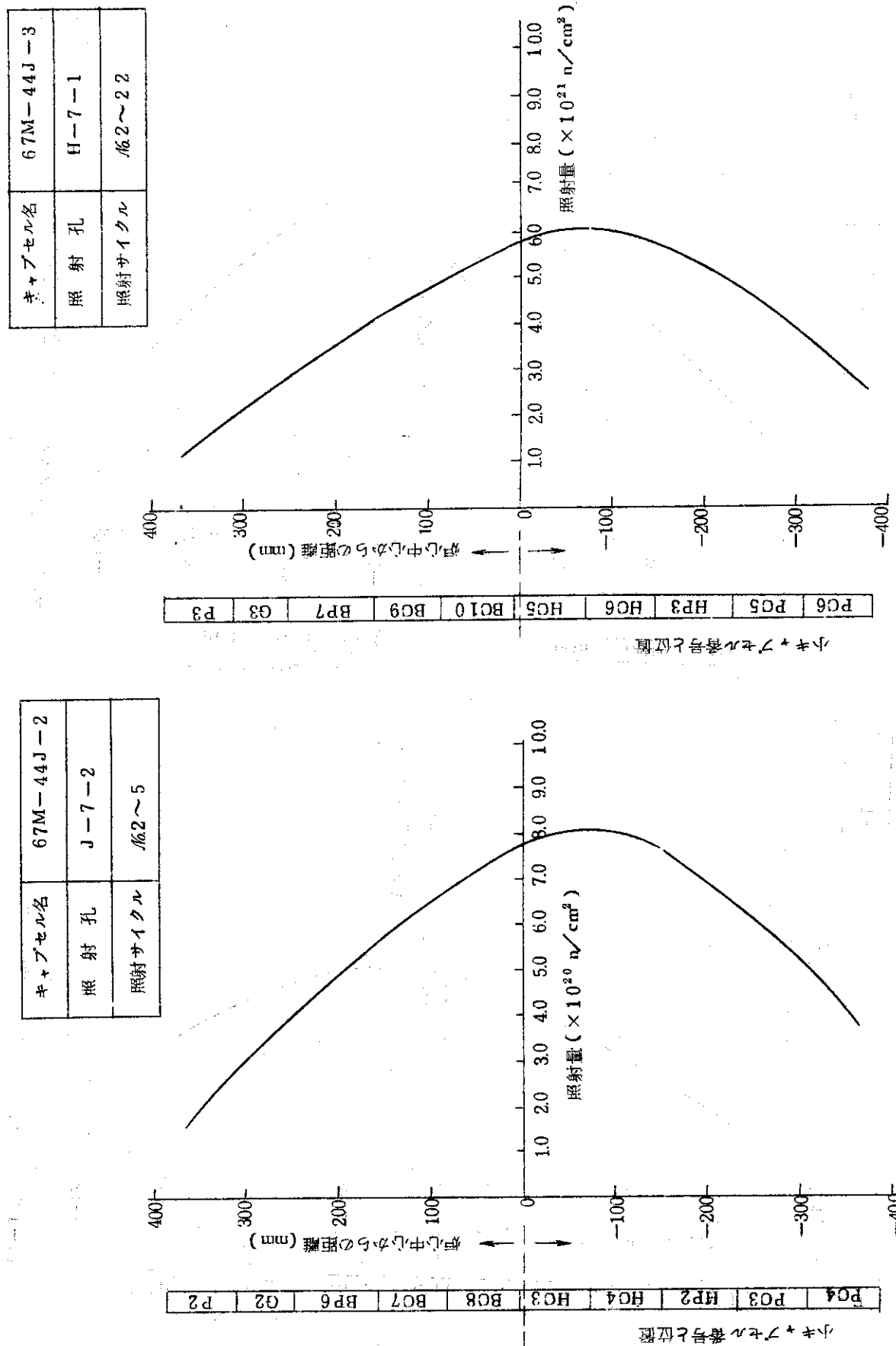


図-2-2 小キヤプセル位置及び高速中性子照射量

図-2-1 小キヤプセル位置及び高速中性子照射量

表-2 サーベランソステストビースの予定照射期間と予定照射量一覧

材 質	用 途	試料片番号 (パレルマー)	照射位置	Integral Fast Flux /cycle	試 料		保管場所 (保管開始年月日)	照 射 時 間	試験種別	試験期間
					ホル ダ量 大 量	ホル ダ量 小 量				
Be	反射体要素 ペリウム棒	BP 1	J-7-1	2.03 ( $\times 10^{20}$ nvt)	2.03 $\times 10^{20}$	5 $\times 10^{20}$	2サイクル・2~3サイクル・2~5サイクル・2~22サイクル	5年	10年	1.5年
		2	"	"	"	"			10 <sup>14</sup>	10 <sup>15</sup>
		3	"	"	"	"				10 <sup>17</sup>
		4	"	"	"	"				
		5	J-9-2	2.06			#1C4.5.1.1.3	"		
		6	J-7-2	2.08			#1C4.6. 1.1.4	"		
		7	H-7-1	1.83/4.11			4.3 $\times 10^3$ hvt			
		8	J-7-4	1.92/4.36			4.3 $\times 10^3$ hvt			
		BC 1	J-7-1	2.03			1.02 $\times 10^6$ hvt			
		9	H-7-1	1.83/4.11						
PH	制御棒用バネ	P 1	J-9-2	2.06						
		2	J-7-2	2.08						
		3	H-7-1	1.83/4.11						
		4	J-7-4	1.92/4.36						
		PC 1	J-9-2	2.06						
		5	H-7-1	1.83/4.11						
		6	J-7-4	1.92/4.36						
		7	J-7-2	2.08						
		8	H-7-1	1.83/4.11						
		9	J-7-4	1.92/4.36						
Hf	制御棒	HP 1	J-9-2	2.06						
		2	J-7-2	2.08						
		3	H-7-1	1.83/4.11						
		4	J-7-4	1.92/4.36						
		HC 1	J-9-2	2.06						
		5	H-7-1	1.83/4.11						
		6	J-7-2	2.08						
		7	J-7-4	1.92/4.36						
		8	H-7-1	1.83/4.11						
		9	J-7-2	2.08						
SUS	SUS	HP 1	J-9-2	2.06						
		2	J-7-2	2.08						
		3	H-7-1	1.83/4.11						
		4	J-7-4	1.92/4.36						
		HC 1	J-9-2	2.06						
		5	H-7-1	1.83/4.11						
		6	J-7-2	2.08						
		7	J-7-4	1.92/4.36						
		8	H-7-1	1.83/4.11						
		9	J-7-2	2.08						
SUS	SUS	SUS 27	G 1	J-9-2	2.06					
		1	H-7-1	2.08						
		2	J-7-2	2.08						
		3	H-7-1	1.83/4.11						
		4	J-7-4	1.92/4.36						
		5	H-7-1	1.83/4.11						
		6	J-7-2	2.08						
		7	J-7-4	1.92/4.36						
		8	H-7-1	1.83/4.11						
		9	J-7-2	2.08						
SUS	SUS	SUS 28	(67M-RJ-1)	#12	$\frac{1.0^7 \text{V} \cdot \text{cm}^3 \text{ sec}}{2.42 \times 10^{13}}$					
		1	(67M-RJ-2)	"	"					
		2	(67M-RJ-3)	#14	"					
		3	(67M-RJ-4)	"	"					
		4	J-7-4	1.92/4.36						
		5	H-7-1	1.83/4.11						
		6	J-7-2	2.08						
		7	J-7-4	1.92/4.36						
		8	H-7-1	1.83/4.11						
		9	J-7-2	2.08						

表-3 小キャップセル毎の高速中性子照射量及び試験種別

材 料	小キャップセル番号	高速中性子照射量 ( $n/cm^2$ )	試験種別
Be	B P 1	$2.3 \times 10^{20}$	
	2	2.4 "	引張試験
	3	2.1 "	
	4	1.6 "	
	5	2.4 "	
	6	$4.8 \times 10^{20}$	
	7	$3.4 \times 10^{21}$	
	B C 1	$0.8 \times 10^{20}$	
	2	1.3 "	衝撃試験
	3	1.7 "	
	4	2.0 "	
	5	3.1 "	
	6	3.6 "	
	7	6.2 "	
17-4 PH	8	$7.2 \times 10^{20}$	
	9	$4.5 \times 10^{21}$	
	10	$5.4 \times 10^{21}$	
	P 1	$1.0 \times 10^{20}$	
	2	2.0 "	引張試験
	3	$1.4 \times 10^{21}$	
	P C 1	$2.9 \times 10^{20}$	
	2	2.1 "	衝撃試験
	3	5.8 "	
	4	$4.2 \times 10^{20}$	
	5	$4.3 \times 10^{21}$	
	6	3.1 "	
Hf	H P 1	$3.5 \times 10^{20}$	
	2	$7.1 \times 10^{20}$	引張試験
	3	$5.3 \times 10^{21}$	
	H C 1	$3.9 \times 10^{20}$	
	2	3.9 "	衝撃試験
	3	8.0 "	
	4	$8.0 \times 10^{20}$	
	5	$6.0 \times 10^{21}$	
	6	6.0 "	
	G 1	$1.6 \times 10^{20}$	
	2	3.4 "	引張試験
	3	$2.4 \times 10^{21}$	

## 5.1 照射前引張試験結果

表-4 照射前引張試験データ

炉心構造物	試料片採取位置 又は素材名		引張強さ kg/mm <sup>2</sup>	0.2%耐力 kg/mm <sup>2</sup>	伸び %	備考
ペリリウム 反射体	角素材 (反射体要素)	押出方向	Max-	52.2	26.0	16.2
			Min-	48.6	23.5	8.5
			Ave-	50.0	24.6	11.1
	丸素材 (反射体ブランク)	押出直角 方向	Max-	37.6	25.2	3.0
			Min-	32.6	22.2	1.9
			Ave-	35.0	23.3	2.4
		押出方向	Max-	57.5	27.5	14.7
			Min-	53.7	24.8	9.1
			Ave-	55.4	26.3	12.1
	角素材 (棒)	押出直角 方向	Max-	35.8	23.5	3.5
			Min-	32.3	21.5	2.0
			Ave-	33.9	22.8	2.7
		押出方向	Max-	48.7	27.1	8.7
			Min-	31.8	21.3	2.0
			Ave-	39.0	24.0	4.2
Brush 材	Press方向	Press方向	Max-	36.8	24.8	8.6
			Min-	34.9	20.1	3.8
			Ave-	36.0		6.9
	Press直角 方向	Press直角 方向	Max-	32.4	24.7	4.5
			Min-	31.0	22.1	2.4
			Ave-	31.8		3.5
炉心格子板	SUS 304		55.2	23.4	6.04	検査表ミルシート
制御棒吸収体	Hf		43.6	20.1	3.13	よりデータを集め た。
吸収体バネ材	17-4 PH		119.6	114.0	16.8	

## 5.2 照射後引張試験結果

表-5 Be 照射後引張試験データ

小キャップ ル番号	試料 仮番号	引張強さ (kg/mm <sup>2</sup> )	0.2%耐力 (kg/mm <sup>2</sup> )	伸び (%)	破断 位置	採取位置別 試料個数	備考
BP1	No.1	51.4	45.7	0.65	B	プラグ材押出方向	
	No.2	40.2	39.6	0.21	A		4
	No.3	52.0	45.7	0.72	A	Brush材	2
	No.4	41.6	37.5	0.43	C		
	No.5	53.5	45.7	0.91	C		
	No.6	50.3	46.0	0.51	B		
BP2	No.1	42.3	42.3	0.14	B	反射体材	
	No.2	40.7	38.5	0.32	A	押出方向	3
	No.3	44.4	43.4	0.25	B		
	No.4	41.2	40.3	0.25	B	反射体材	
	No.5	41.1	40.9	0.18	A	押出直角方向	3
	No.6	46.3	42.7	0.54	A		
BP3	No.1	39.9	37.3	0.40	A	棒材押出方向	3
	No.2	44.4	38.0	0.87	B		
	No.3	39.1	37.7	0.29	A		
	No.4	42.8	38.3	0.58	C	棒材	
	No.5	45.4	38.1	1.09	B	押出直角方向	3
	No.6	39.5	36.4	0.47	C		
BP4	No.1	40.1	38.3	0.36	C	反射体押出方向	3
	No.2	45.5	38.4	0.98	B		
	No.3	36.9	36.4	0.25	C	反射体材	
	No.4	43.8	38.8	0.62	B	押出直角方向	2
	No.5	39.1	34.3	0.58	C		
	No.6	38.2	34.6	0.54	B	Brush材	1
BP5	No.1	39.6	37.9	0.29	B	棒材押出方向	3
	No.2	34.8	40.2	0.47	C		
	No.3	46.7	40.3	0.91	A		
	No.4	40.1	40.1	0.14	A	棒材押出	
	No.5	-	-	-	-	直角方向	2
	No.6	-	-	-	-	Brush材	1

(表-5 つづき)

小キャップセル 番号	試料 仮番号	引張強さ (kg/mm <sup>2</sup> )	0.2%耐力 (kg/mm <sup>2</sup> )	伸び (%)	破断 位置	採取位置別 試料個数	備考
BP 6	No. 1	-	-	-	-	反射体材押出方向 2	ホルダーから試料を取り外す際、全試料破損
	No. 2	-	-	-	-	反射体材押出方向 2	
	No. 3	-	-	-	-	棒材押出方向 2	
	No. 4	-	-	-	-	Brush材 2	試料6本中2本は試験中に破損。 No.1～4試料はネジ部破断後再試験データ。
	No. 5	-	-	-	-	Brush材 2	
	No. 6	-	-	-	-	Brush材 2	
BP 7	No. 1	5.8.4	-	-	A	反射体材押出方向 2	試料6本中2本は試験中に破損。 No.1～4試料はネジ部破断後再試験データ。
	No. 2	4.3.9	-	-	B	反射体材押出方向 2	
	No. 3	4.0.3	-	-	C	棒材押出方向 2	
	No. 4	4.7.6	-	-	C	Brush材 2	試料6本中2本は試験中に破損。 No.1～4試料はネジ部破断後再試験データ。
	No. 5	-	-	-	-	Brush材 2	
	No. 6	-	-	-	-	Brush材 2	

表-6 17-4 PH照射後引張試験データ

小キャップセル 番号	試料 仮番号	引張強さ (kg/mm <sup>2</sup> )	0.2%耐力 (kg/mm <sup>2</sup> )	伸び (%)	破断 位置	備考
P 1	No. 1	124.7	120.9	3.55	B	
	No. 2	125.1	113.0	3.85	A	
P 2	No. 1	127.3	119.3	3.6	B	
	No. 2	126.1	120.0	3.4	B	
P 3	No. 1	137.3	135.7	3.2	B	
	No. 2	136.2	134.3	2.9	B	

表-7 H<sub>f</sub> 照射後引張試験データ

小キャップセル 番号	試料 仮番号	引張強さ (kg/mm <sup>2</sup> )	0.2%耐力 (kg/mm <sup>2</sup> )	伸び (%)	破断 位置	備考
HP 1	No. 1	55.0	53.3	3.0	A	
	No. 2	54.0	53.3	1.9	B	
	No. 3	55.7	54.3	2.1	B	
HP 2	No. 1	56.3	55.7	1.8	B	
	No. 2	55.0	54.3	1.8	B	
	No. 3	56.5	56.2	1.9	B	
HP 3	No. 1	115.0	115.0	-	B	
	No. 2	88.0	88.0	-	C	
	No. 3	112.5	112.5	-	C	

表-8 SUS 304 照射後引張試験データ

小キャップセル番号	試料仮番号	引張強さ (kg/mm <sup>2</sup> )	0.2%耐力 (kg/mm <sup>2</sup> )	伸び (%)	破断位置	備考
G 1	No. 1	60.9	52.0	3.23	B	
	No. 2	59.1	50.4	2.88	C	
	No. 3	58.4	51.1	2.65	C	
G 2	No. 1	61.3	51.6	3.3	A	
	No. 2	62.2	52.9	3.7	A	
	No. 3	62.7	56.7	2.8	A	
G 3	No. 1	63.8	58.2	2.6	B	
	No. 2	64.0	55.8	3.5	B	
	No. 3	60.2	52.9	2.5	B	

## 5.3 照射前衝撃試験結果

表-9 照射前衝撃試験データ

炉心構造物	試料採取位置 又は、素材名		衝撃値 kg-m/cm <sup>2</sup>	備考
ペリリウム反射体	角素材 (反射体)	押出方向	0.094	各種採取位置別に多数の試験を行なったが、ここではその平均値を示す。
		押出直角方向	0.078	
	丸素材 (プラグ)	押出方向	0.101	
		押出直角方向	0.094	
	角素材 (枠)	押出方向	0.103	
		押出直角方向	0.099	
制御棒吸収体	Hf		0.207	検査表ミルシートより
吸収体バネ材	17-4 PH		0.960	データを集めた。

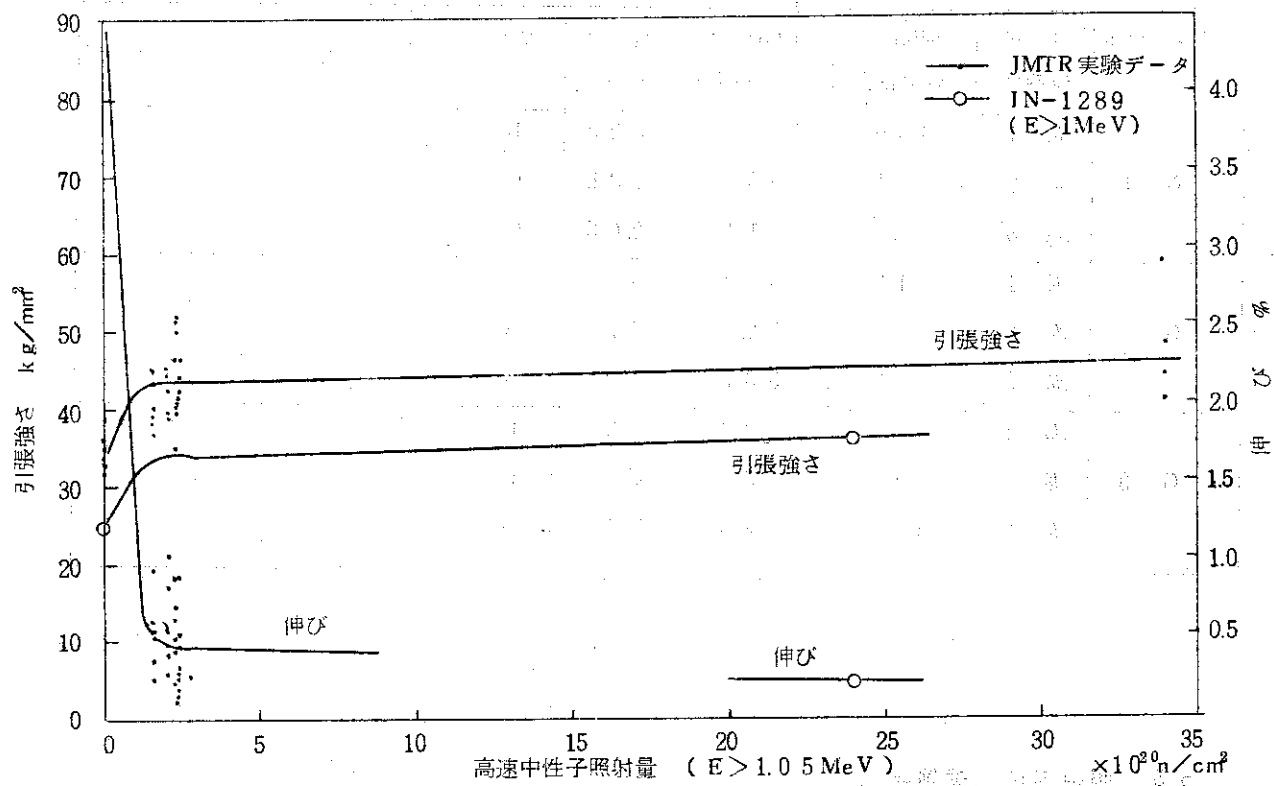


図 - 2 3 Be の照射効果 (引張試験)

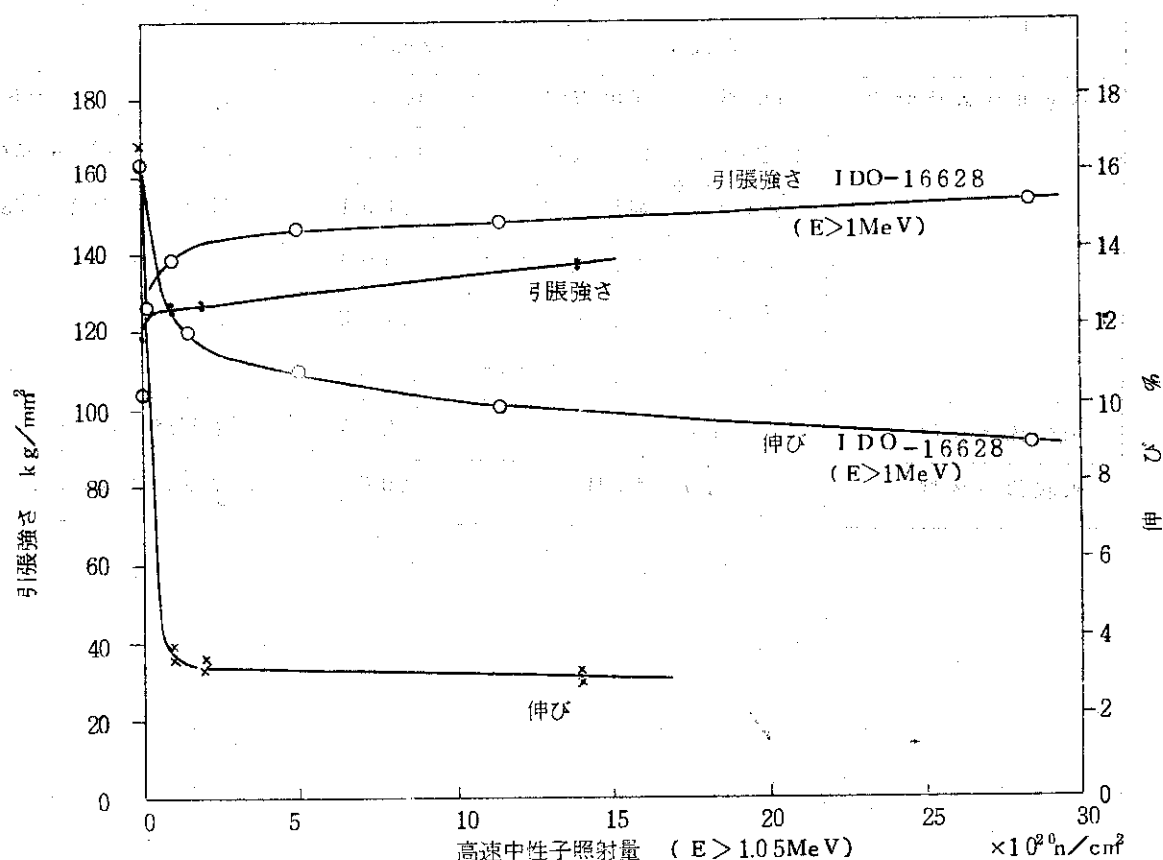


図 - 2 4 17-4 PH の照射効果 (引張試験)

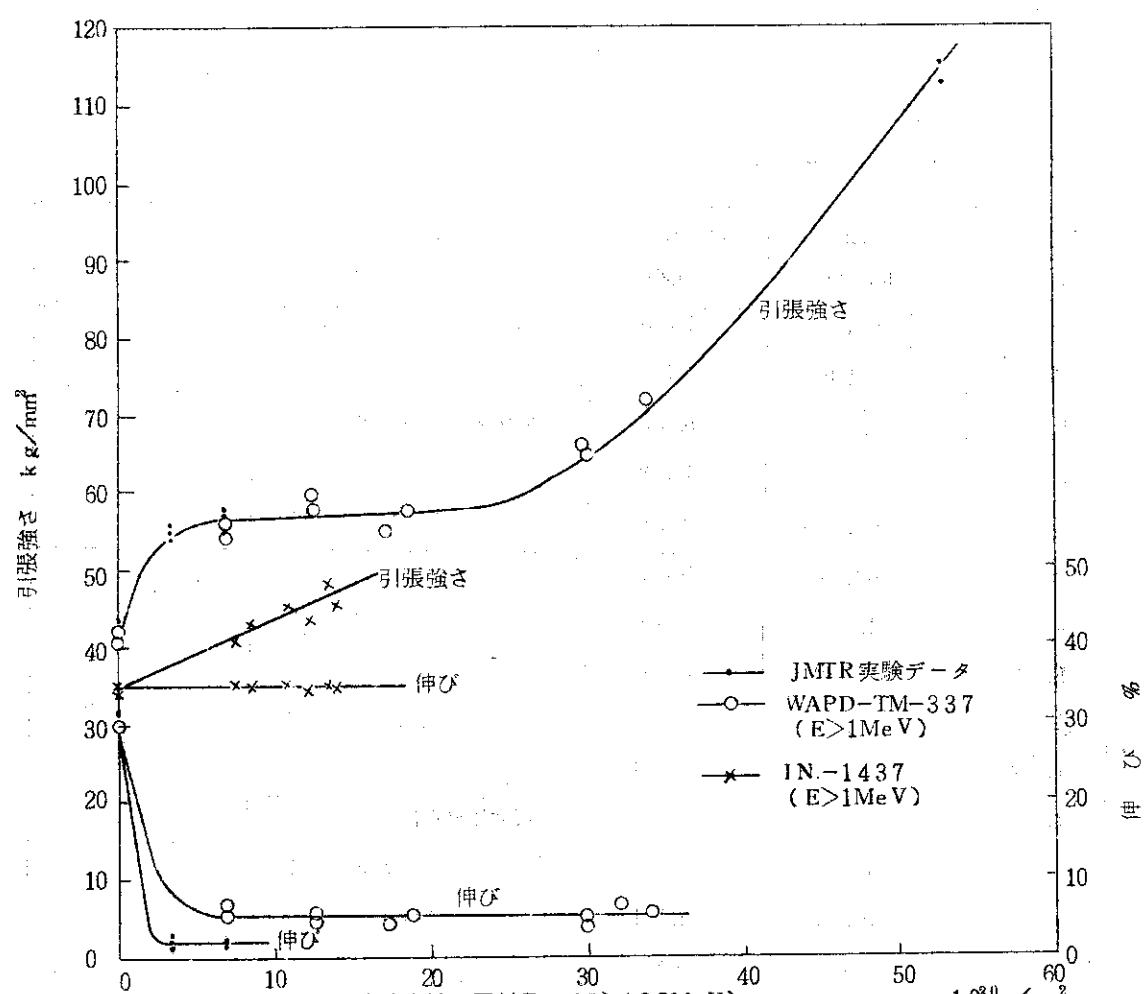
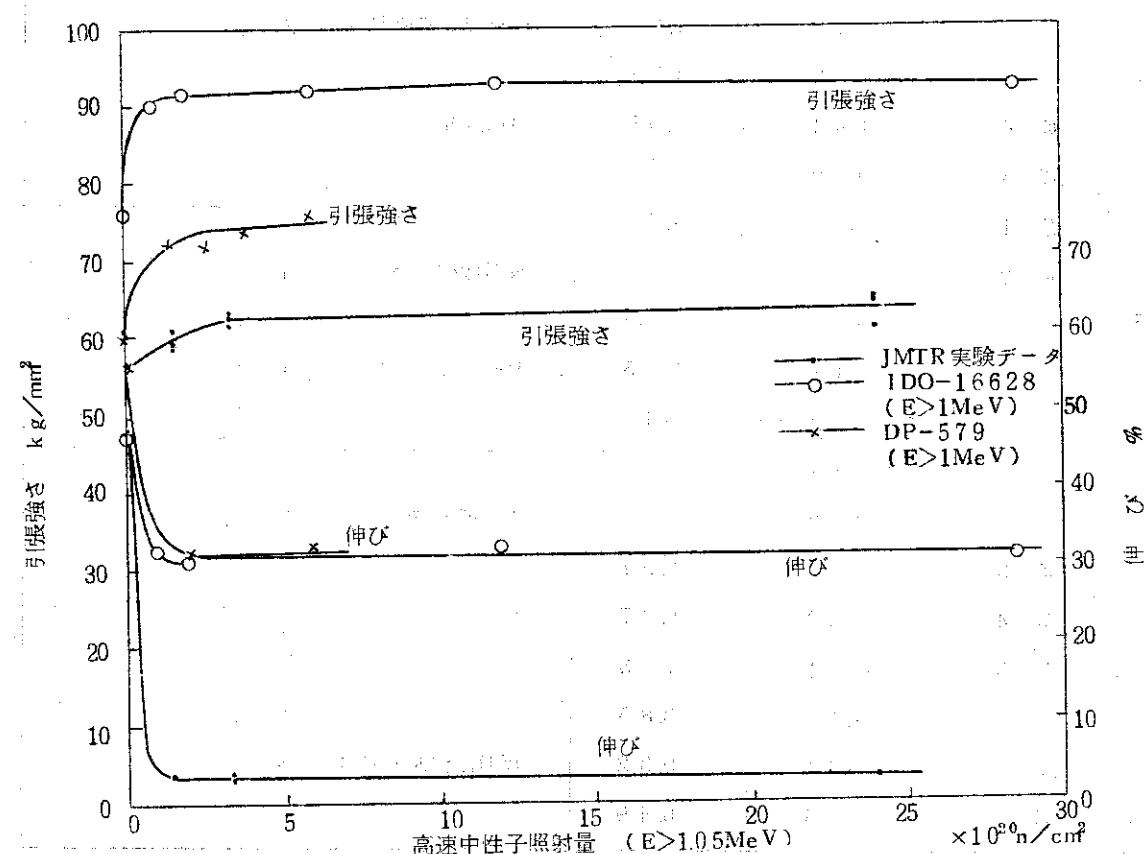
図 - 2 5  $H_f$  の照射効果 (引張試験)

図 - 2 6 SUS 304 の照射効果 (引張試験)

## 5.4 照射後衝撃試験結果

表-10 Be 照射後衝撃試験データ

小キャップセル番号	試料仮番号	吸収エネルギー kg-m	衝撃値 kg-m/cm <sup>2</sup>	採取位置別 試料個数	備考	
BC 1	No. 1	0.41	1.33	プラグ材押出方向 5		
	No. 2	0.18	0.58			
	No. 3	1.71	5.53			
	No. 4	0.41	1.33			
	No. 5	0.77	2.49			
BC 2	No. 1	0.18	0.58	反射体材押出方向 3		
	No. 2	1.13	3.66			
	No. 3	1.17	3.78			
	No. 4	0.79	2.56	直角方向 2		
	No. 5	0.45	1.46			
BC 3	No. 1	0.61	1.97	反射体材押出 直角方向 1		
	No. 2	1.22	3.95			
	No. 3	0.53	1.71	粹材押出方向 3		
	No. 4	1.12	3.62			
	No. 5	0.30	0.97	粹材押出直角方向 1		
BC 4	No. 1	0.55	1.78	粹材押出直角方向 2		
	No. 2	0.41	1.33			
	No. 3	0.55	1.78	Brush材 3		
	No. 4	1.84	5.95			
	No. 5	0.22	0.71			
BC 5	No. 1	0.45	1.46	反射体材押出方向 4		
	No. 2	0.53	1.71			
	No. 3	0.26	0.84	Brush材 1		
	No. 4	1.13	3.65			
	No. 5	1.38	4.46			
BC 6	No. 1	0.18	0.58	粹材押出方向 3		
	No. 2	0.53	1.71			
	No. 3	0.92	2.97	Brush材 2		
	No. 4	0.30	0.97			
	No. 5	0.41	1.33			
BC 7	No. 1	1.19	3.85	反射体材押出方向 4		
	No. 2	0.10	0.32			
	No. 3	0.15	0.49			

(表-10つづき)

小キャップセル番号	試料仮番号	吸収エネルギー kg-m	衝撃値 kg-m/cm <sup>2</sup>	採取位置別 試料個数	備考	
BC 7	No. 4	0.21	0.68	Brush材 1		
	No. 5	0.05	0.16			
BC 8	No. 1	1.60	5.18	棒材押出方向 3		
	No. 2	0.10	0.32			
	No. 3	0.05	0.16	Brush材 2		
	No. 4	0.05	0.16			
	No. 5	0.21	0.68			
BC 9	No. 1	0.25	0.83	反射体材押出方向 4		
	No. 2	0.17	0.53			
	No. 3	0.21	0.71	Brush材 1		
	No. 4	0.41	1.34			
	No. 5	0.21	0.71			
BC 10	No. 1	0.21	0.71	棒材押出方向 3		
	No. 2	0.25	0.83			
	No. 3	0.25	0.83	Brush材 2		
	No. 4	0.29	0.96			
	No. 5	0.25	0.83			

表-11 17-4 PH照射後衝撃試験データ

小キャップセル番号	試料仮番号	吸収エネルギー kg-m	衝撃値 kg-m/cm <sup>2</sup>	備考
PC 1	No. 1	3.47	8.67	
	No. 2	1.13	2.83	
PC 2	No. 1	4.62	11.55	
	No. 2	1.38	3.45	
PC 3	No. 1	2.05	5.143	
	No. 2	3.20	8.008	
PC 4	No. 1	1.84	4.608	
	No. 2	1.75	4.398	
PC 5	No. 1	0.49	1.233	
	No. 2	0.69	1.725	
PC 6	No. 1	1.011	2.528	
	No. 2	0.770	1.925	

表-12 Hf 照射後衝撃試験データ

小キャップセル 番号	試料 仮番号	吸収エネルギー kg-m	衝撃値 kg-m/cm <sup>2</sup>	備考
HC 1	No. 1	2.67	6.67	
	No. 2	0.93	2.33	
HC 2	No. 1	1.01	2.53	
HC 3	No. 1	3.111	7.777	
	No. 2	2.668	6.67	
HC 4	No. 1	2.014	5.035	
HC 5	No. 1	0.454	1.135	
	No. 2	0.415	1.037	
HC 6	No. 1	-	-	破断試片がアンビルとハンマーの間にはさまるため試験中止

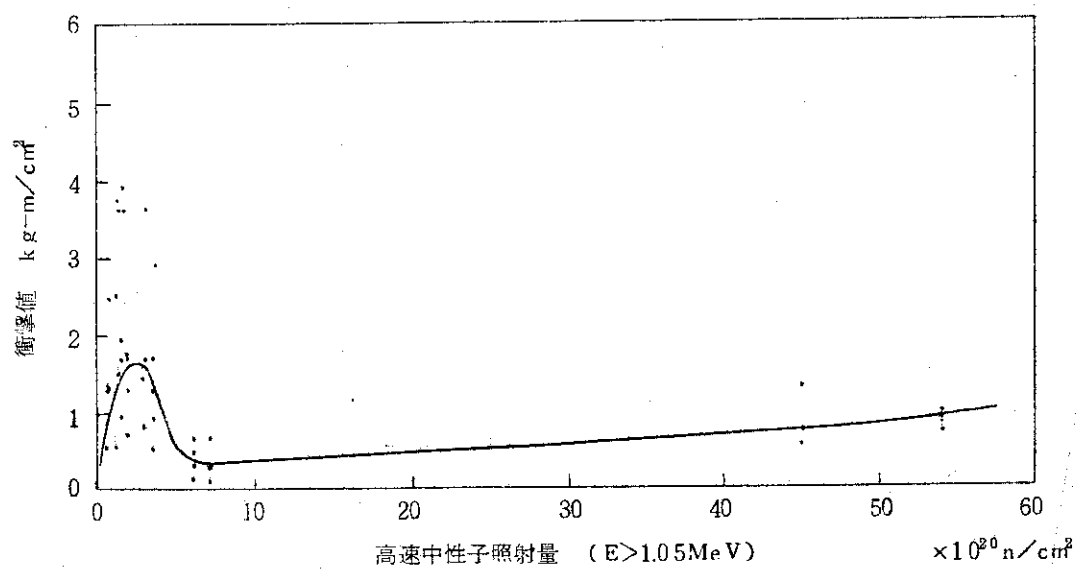


図-27 Be の照射効果 (衝撃試験)

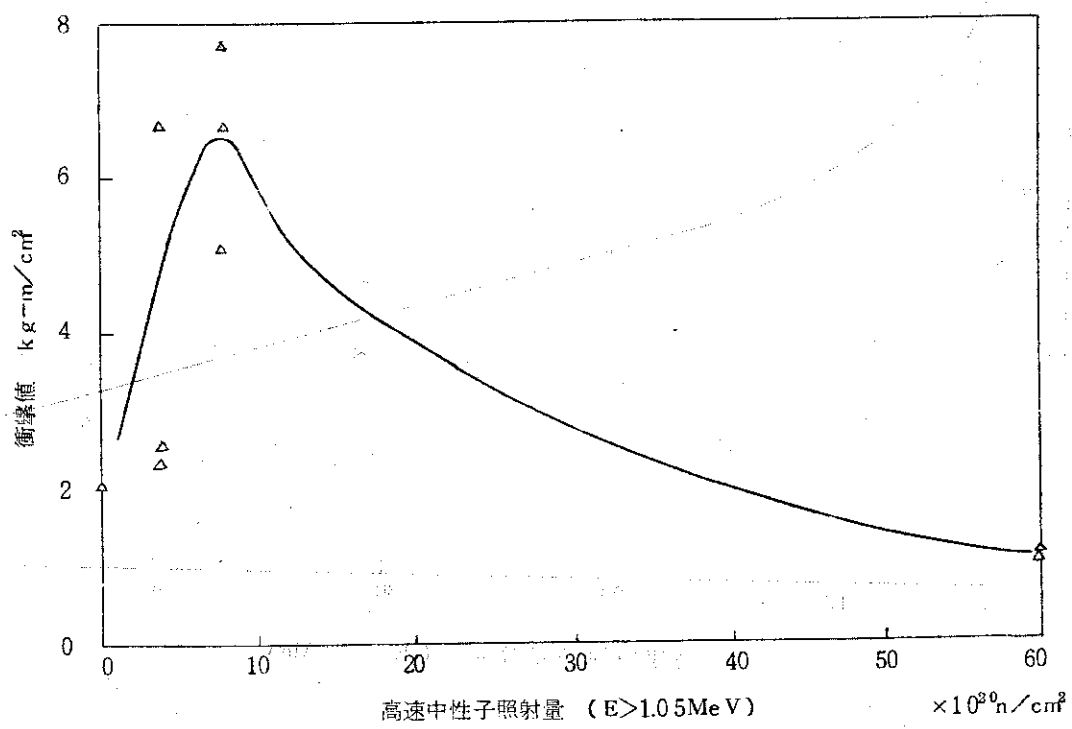


図-29 Hf の照射効果 (衝撃試験)

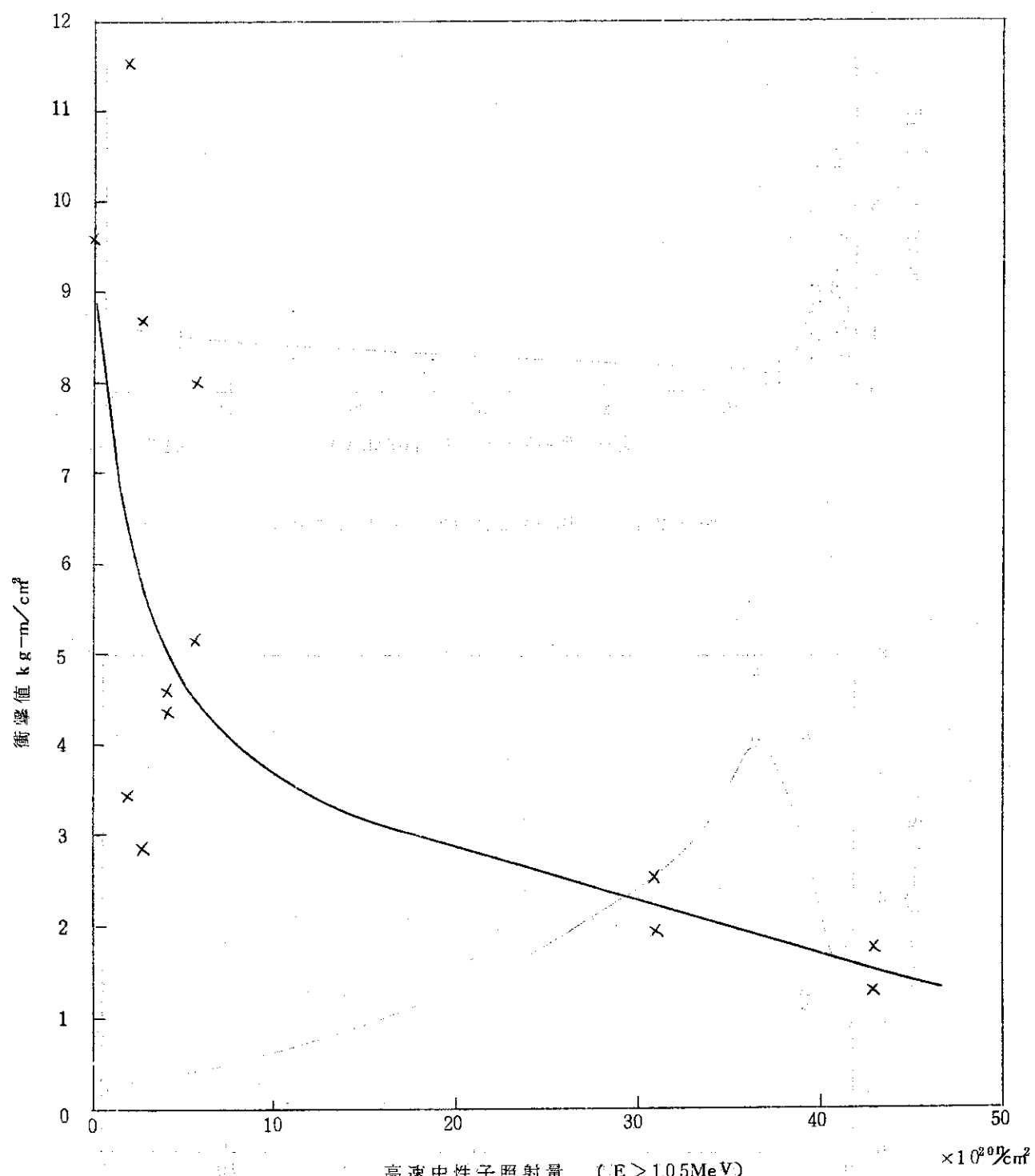


図-28 17-4 PH の照射効果(衝撃試験)

## 6. 検討

J M T R サーベランステスト計画に基づく照射試験片の約半数について現在まで照射後試験を終了したので、本報告書をまとめたが、この過程において二つの大きな手違いが有って、本計画が頭初の予定通りに進まなかつた。前述の通り未照射試料を保管中に紛失したことが第一の手違いであり、材料製造者の試験データをもつて照射前データとせざるを得なかつた、第二の手違いは、照射済キャップセルから試験片を取り出す際に間違つた連絡が、解体作業を行なう J M T R ホットラボ課へ出されたため、小キャップセル内の試料番地ごとに試料を区分せず、小キャップセル単位で区分された。その結果、ベリリウム試験片については、プラグ材、反射体、枠材の押出方向、押出直角方向の試験片区分が全く不可能となつてしまつた。したがつてベリリウムの場合、押出工程を行なつた材料とそれを行なわなかつた Brush 材のデータ比較が出来なくなつこと及び押出方向に平行な切り出しを行なつた試片と押出方向に直角となる向きで切り出した試片の相互比較などが不可能となつた。

以上の手違いの原因を検討した場合、第一番目に挙げられるのは、計画立案の段階から担当部門が一貫して同一のセクションになかつたために、たゞ重なる引き継ぎの中で必要な情報の伝播を欠いていたことである。現在第2回目のベリリウム枠製作を開始しており、枠材のサーベランステストの第2回目を計画中であるが、このようなトラブルを全面的に解消すべく検討を進めている。

## 7. まとめ

J M T R サーベランステスト計画に基づく照射キャップセルの約半数を処理した結果をここに報告したが、このデータが J M T R 以外においても同種の炉心材料を使用する他施設の炉心要素管理計画等に役立てば幸いに思う。今回のテスト計画を遂行するに当り種々の分野の人達に大変迷惑をかけたことをここにおわびすると共に、今後も回を重ねて同種のテスト計画が継続される予定であり、尚一層技術的示唆が与えられることを切望する。

最後に、本計画の取りまとめを材料試験炉部原子炉第一課が担当していることから、報告書作成を運転管理係で行なつたことを付記する。

## 6. 検討

J M T R サーベランステスト計画に基づく照射試験片の約半数について現在まで照射後試験を終了したので、本報告書をまとめたが、この過程において二つの大きな手違いが有って、本計画が頭初の予定通りに進まなかつた。前述の通り未照射試料を保管中に紛失したことが第一の手違いであり、材料製造者の試験データをもつて照射前データとせざるを得なかつた。第二の手違いは、照射済キャブセルから試験片を取り出す際に間違つた連絡が、解体作業を行なう J M T R ホットラボ課へ出されたため、小キャブセル内の試料番地ごとに試料を区分せず、小キャブセル単位で区分された。その結果、ベリリウム試験片については、プラグ材、反射体、枠材の押出方向、押出直角方向の試験片区分が全く不可能となつてしまつた。したがつてベリリウムの場合、押出工程を行なつた材料とそれを行なわなかつた Brush 材のデータ比較が出来なくなつたこと及び押出方向に平行な切り出しを行なつた試片と押出方向に直角となる向きで切り出した試片の相互比較などが不可能となつた。

以上の手違いの原因を検討した場合、第一番目に挙げられるのは、計画立案の段階から担当部門が一貫して同一のセクションになかつたために、たゞ重なる引き継ぎの中で必要な情報の伝播を欠いていたことである。現在第2回目のベリリウム枠製作を開始しており、枠材のサーベランステストの第2回目を計画中であるが、このようなトラブルを全面的に解消すべく検討を進めている。

## 7. まとめ

J M T R サーベランステスト計画に基づく照射キャブセルの約半数を処理した結果をここに報告したが、このデータが J M T R 以外においても同種の炉心材料を使用する他施設の炉心要素管理計画等に役立てば幸いに思ふ。今回のテスト計画を遂行するに当り種々の分野の人達に大変迷惑をかけたことをここにおわびすると共に、今後も回を重ねて同種のテスト計画が継続される予定であり、尚一層技術的示唆が与えられることを切望する。

最後に、本計画の取りまとめを材料試験炉部原子炉第一課が担当していることから、報告書作成を運転管理係で行なつたことを付記する。